

FIG. 1

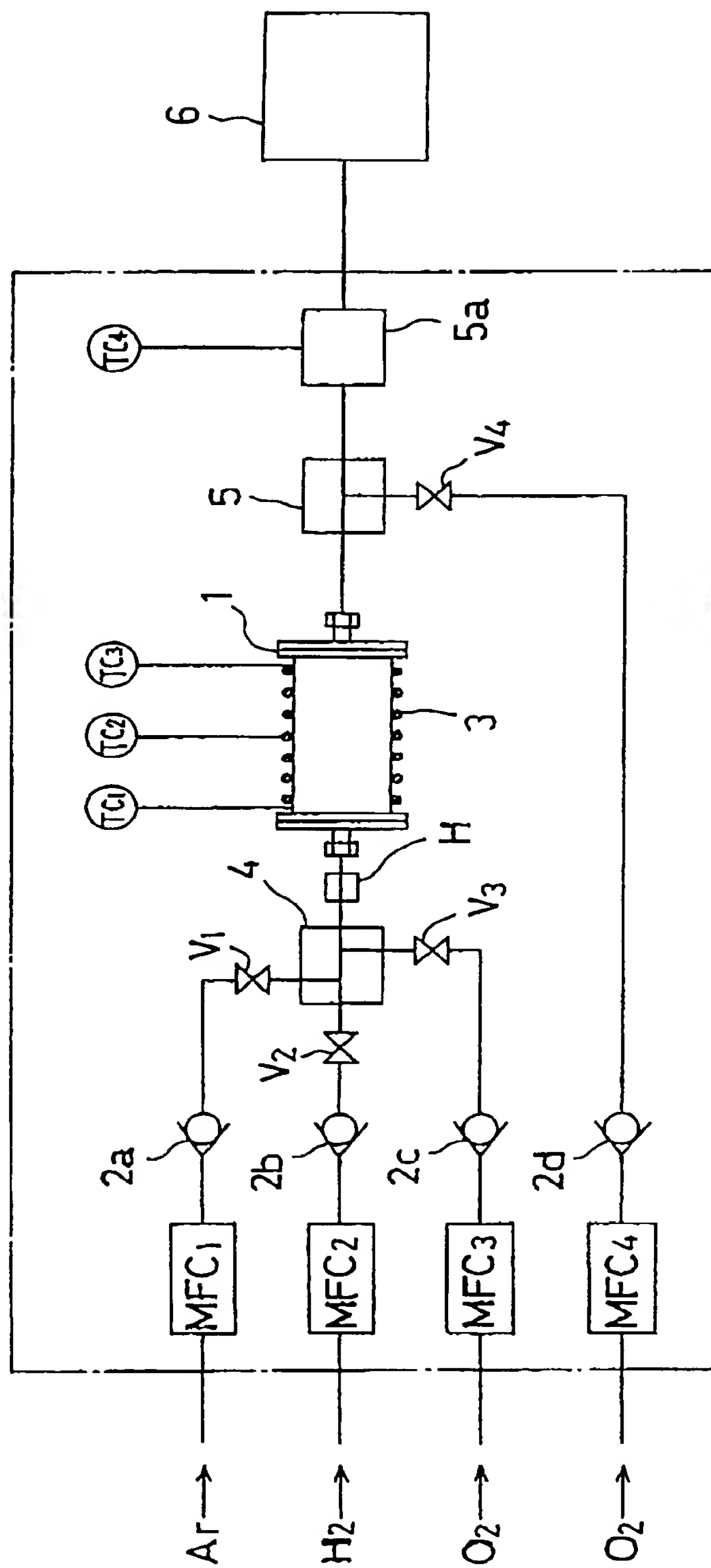


FIG. 2

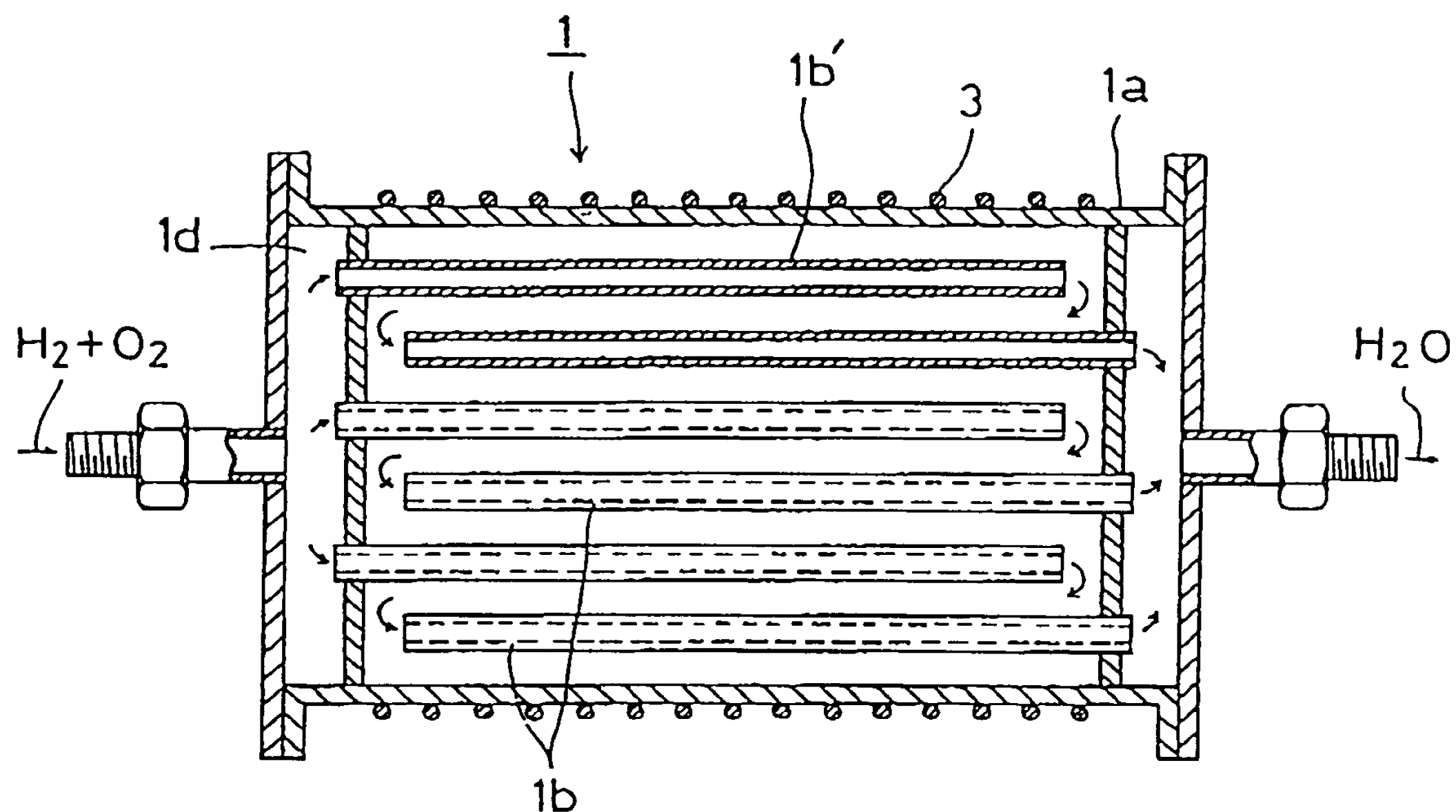


FIG. 3

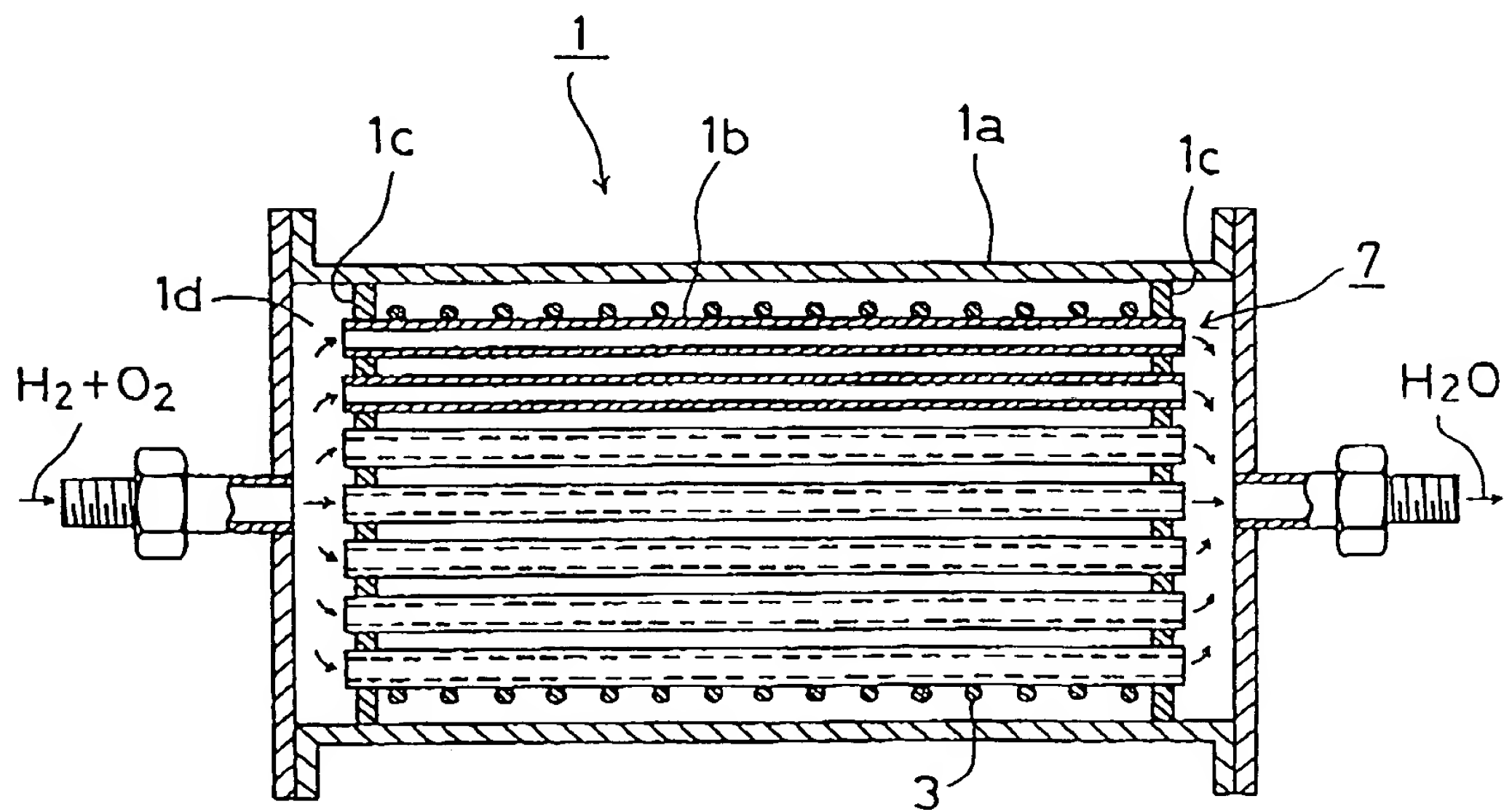


FIG. 4

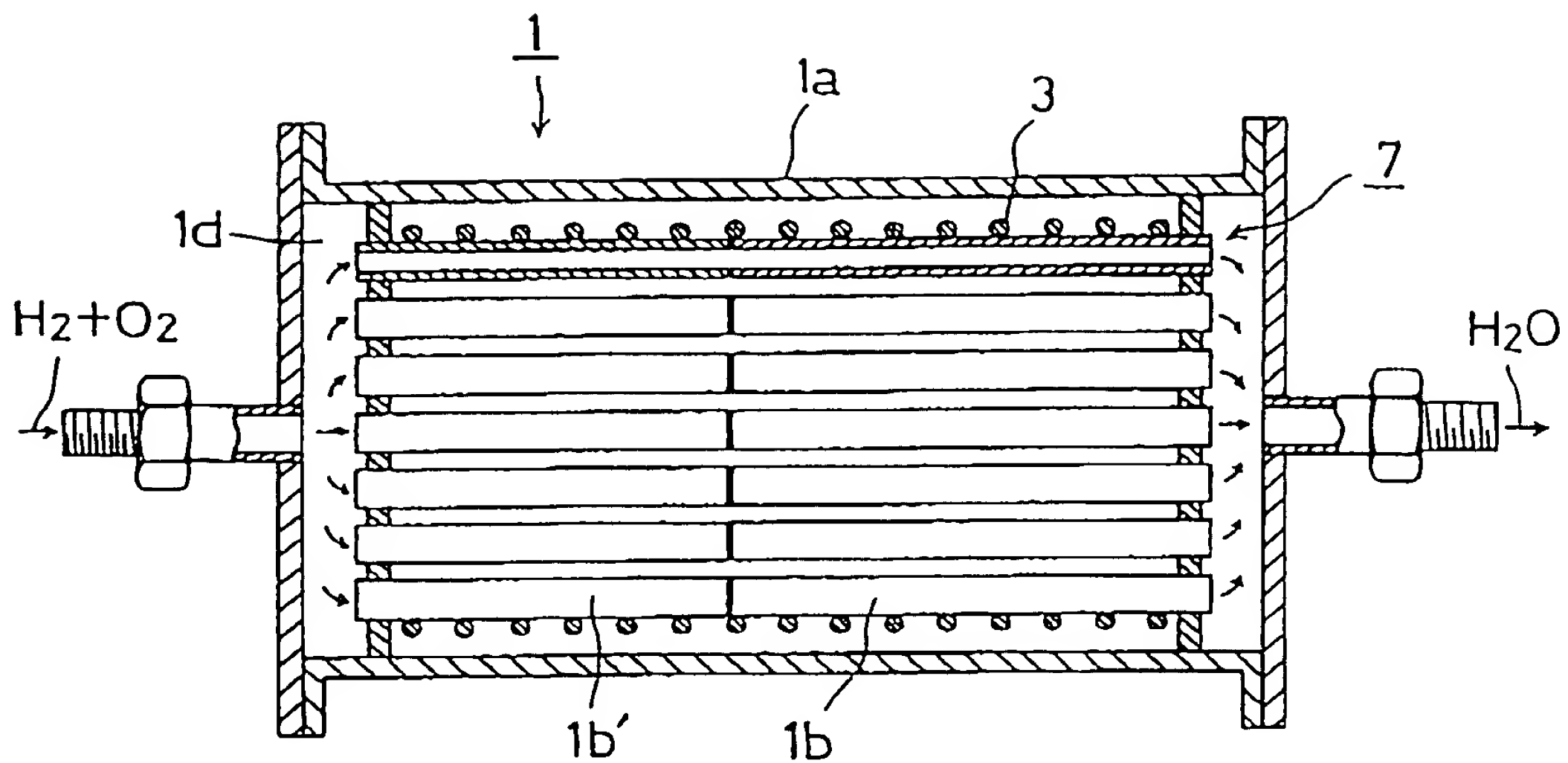


FIG. 5

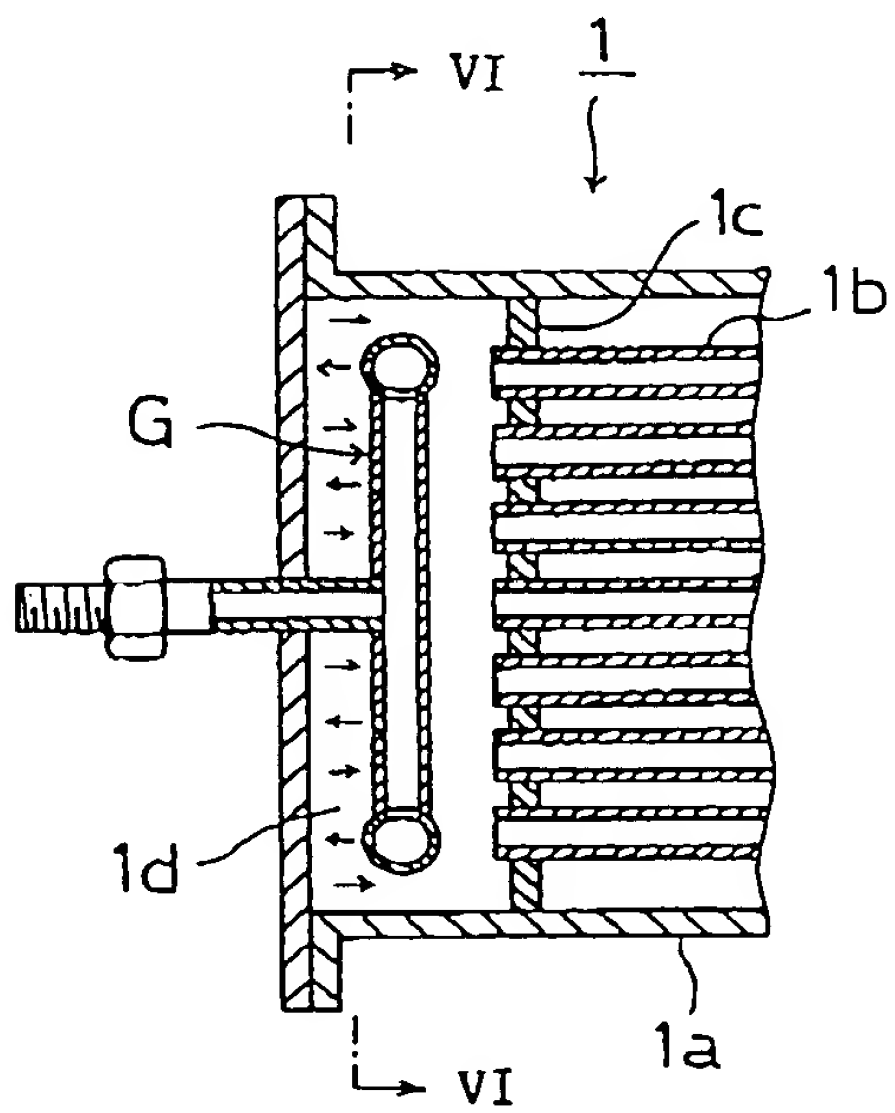


FIG. 6

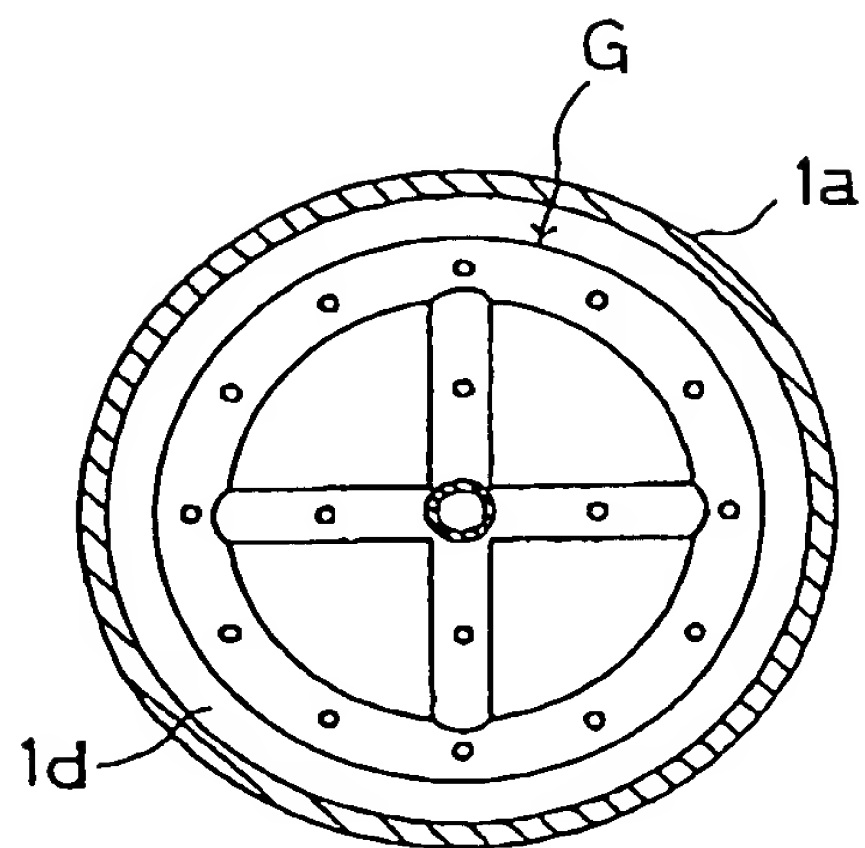


FIG. 7

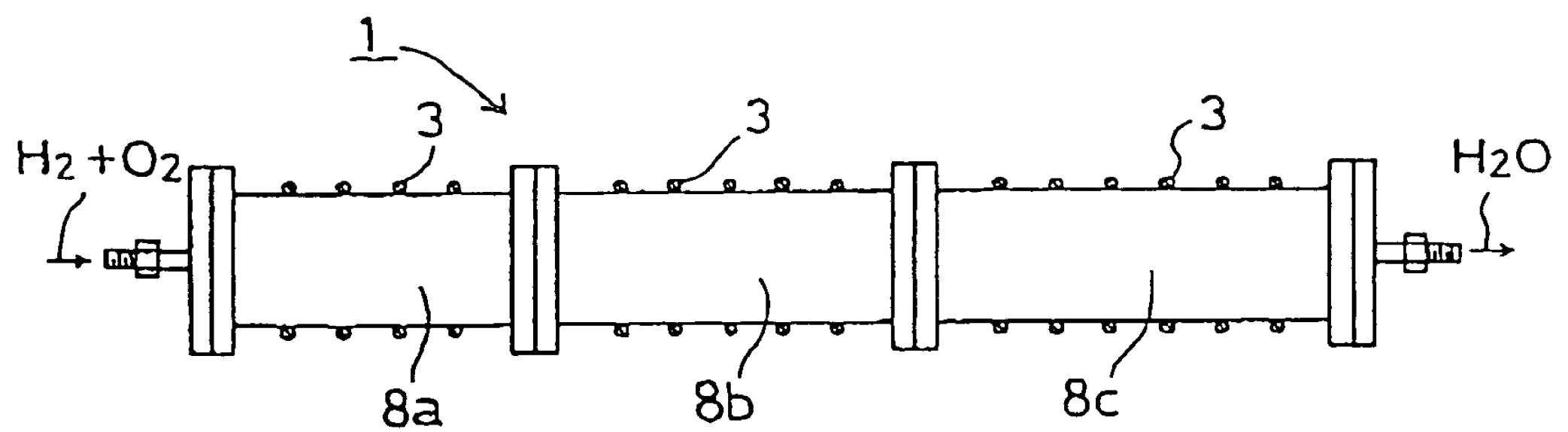


FIG. 8

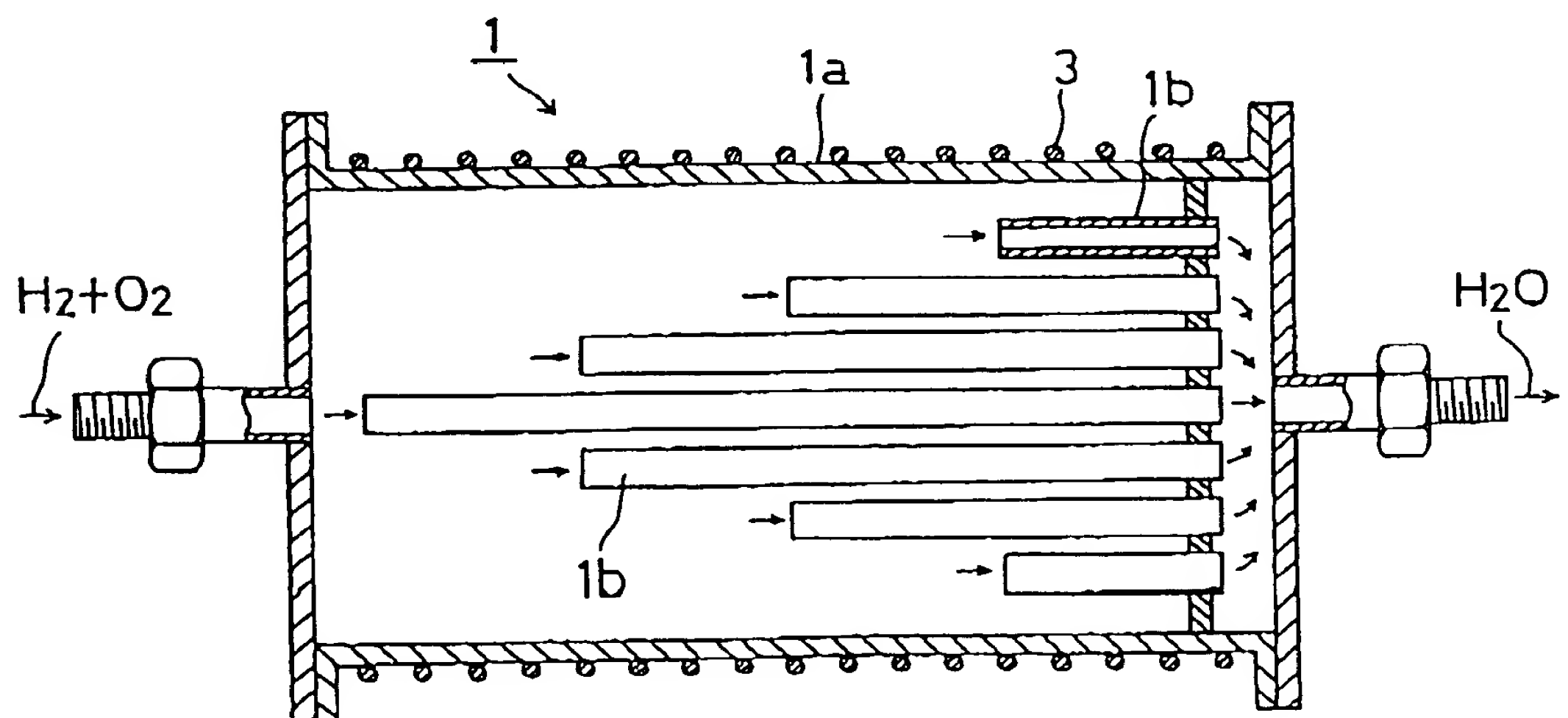


FIG. 9

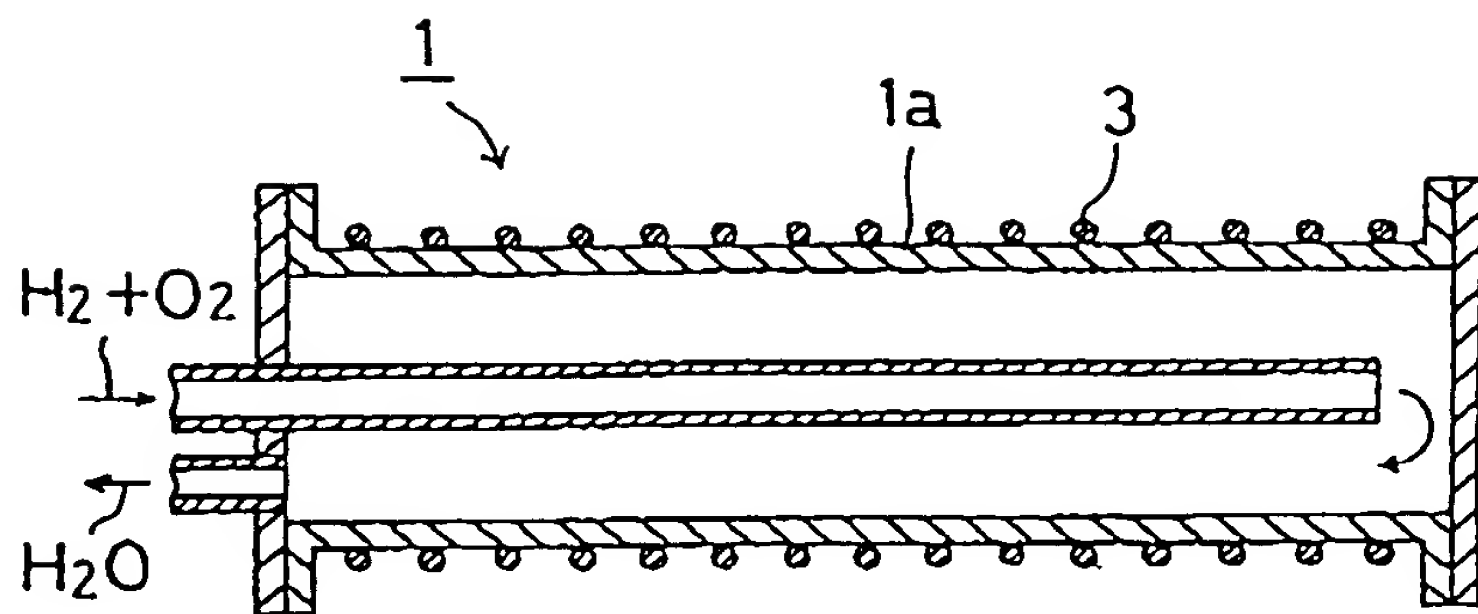


FIG. 10

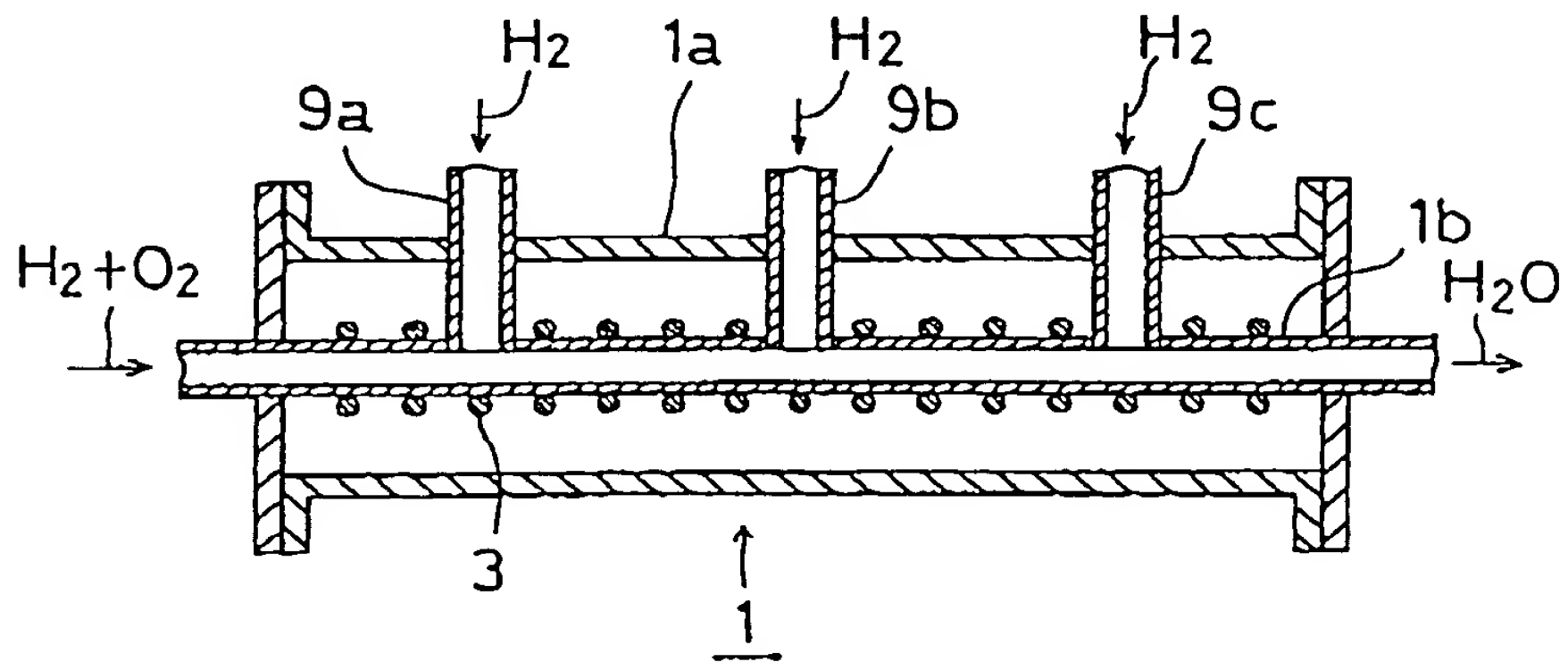


FIG. 11

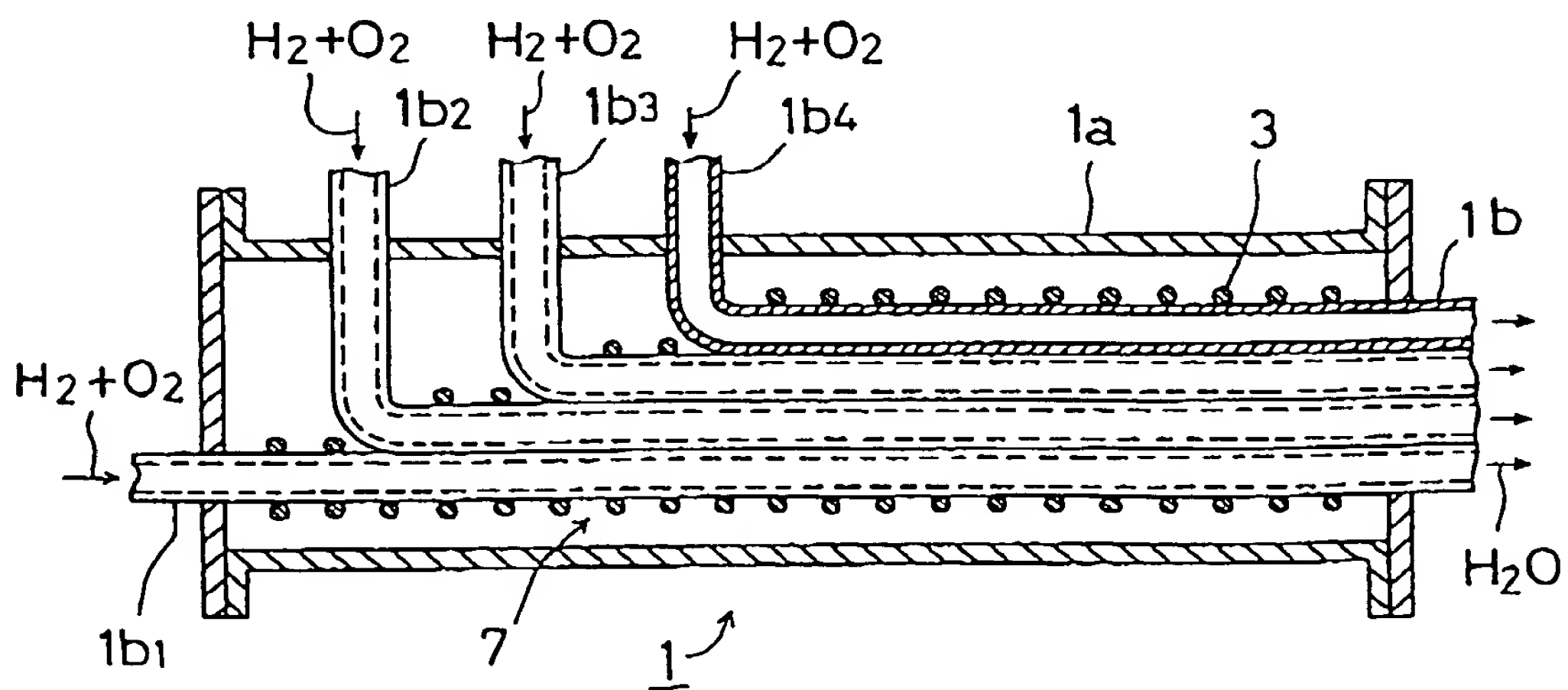


FIG. 12

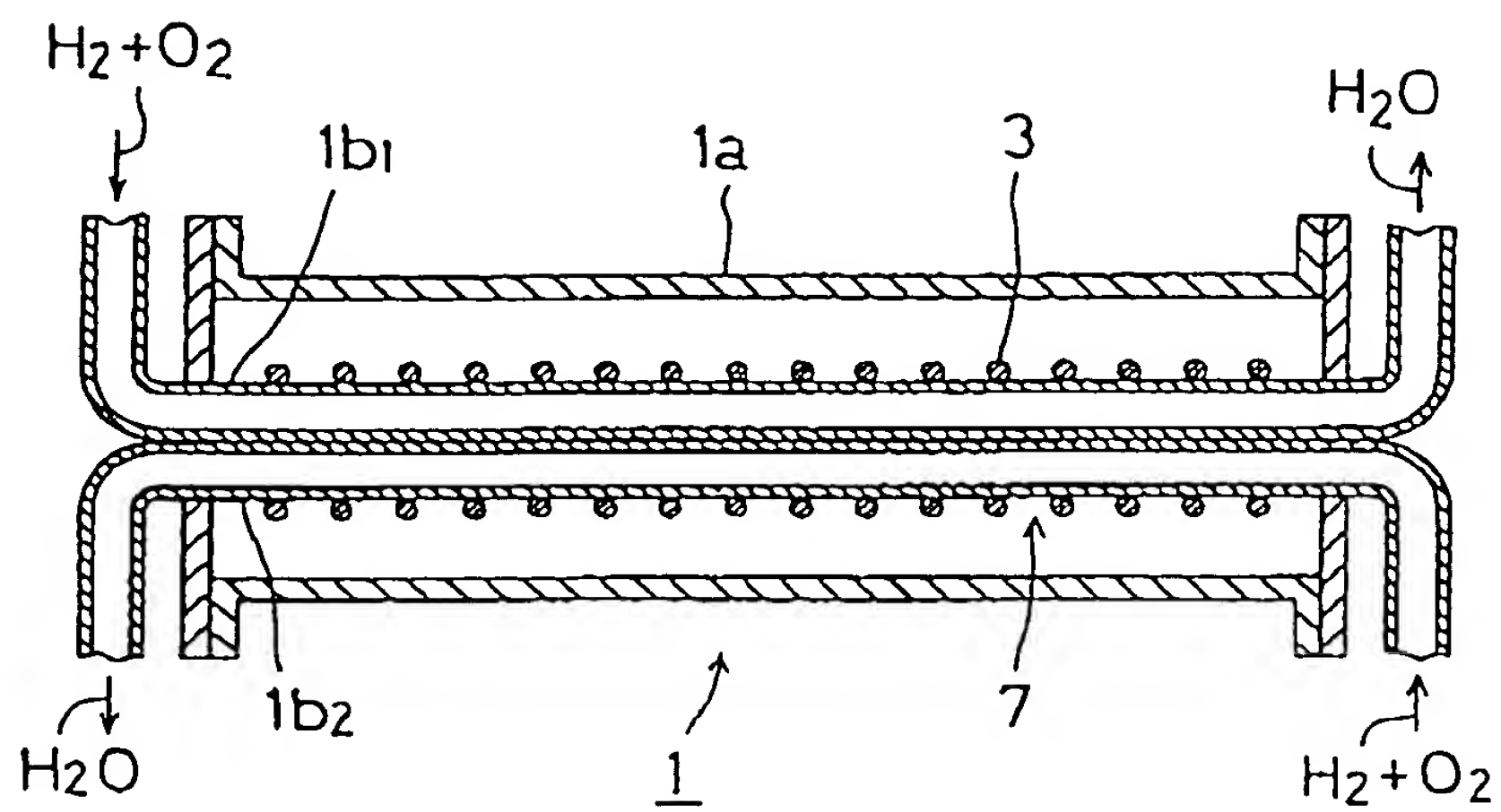


FIG. 13

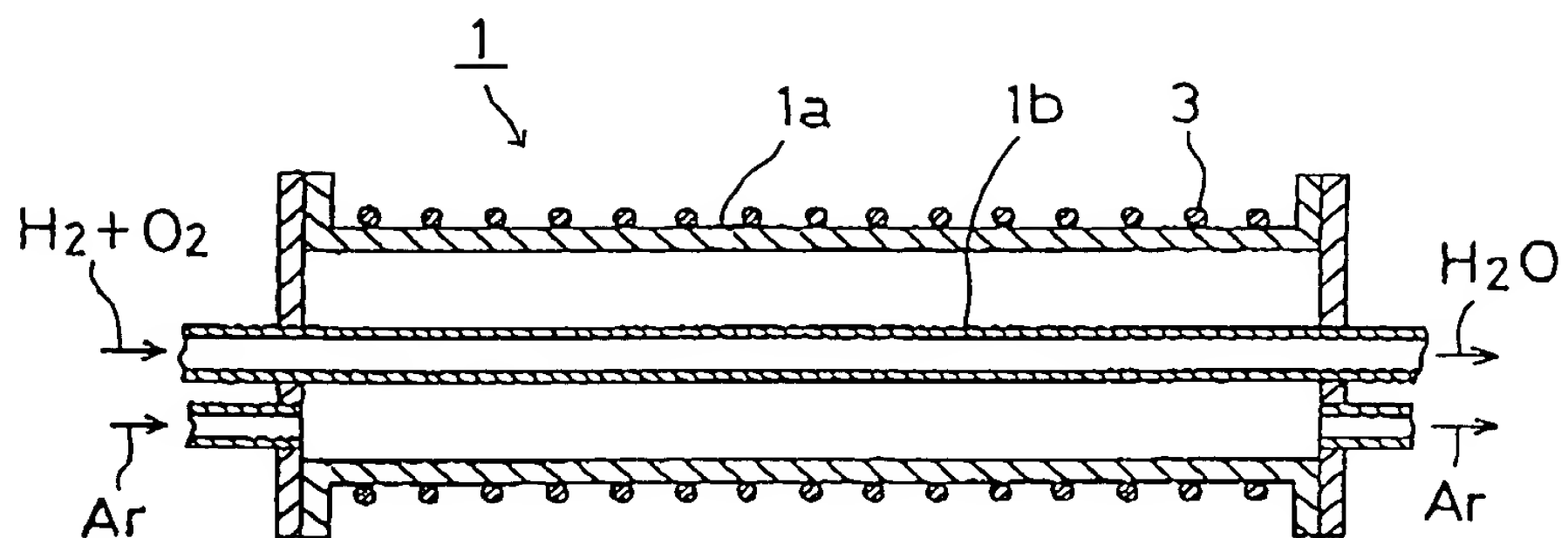


FIG. 14

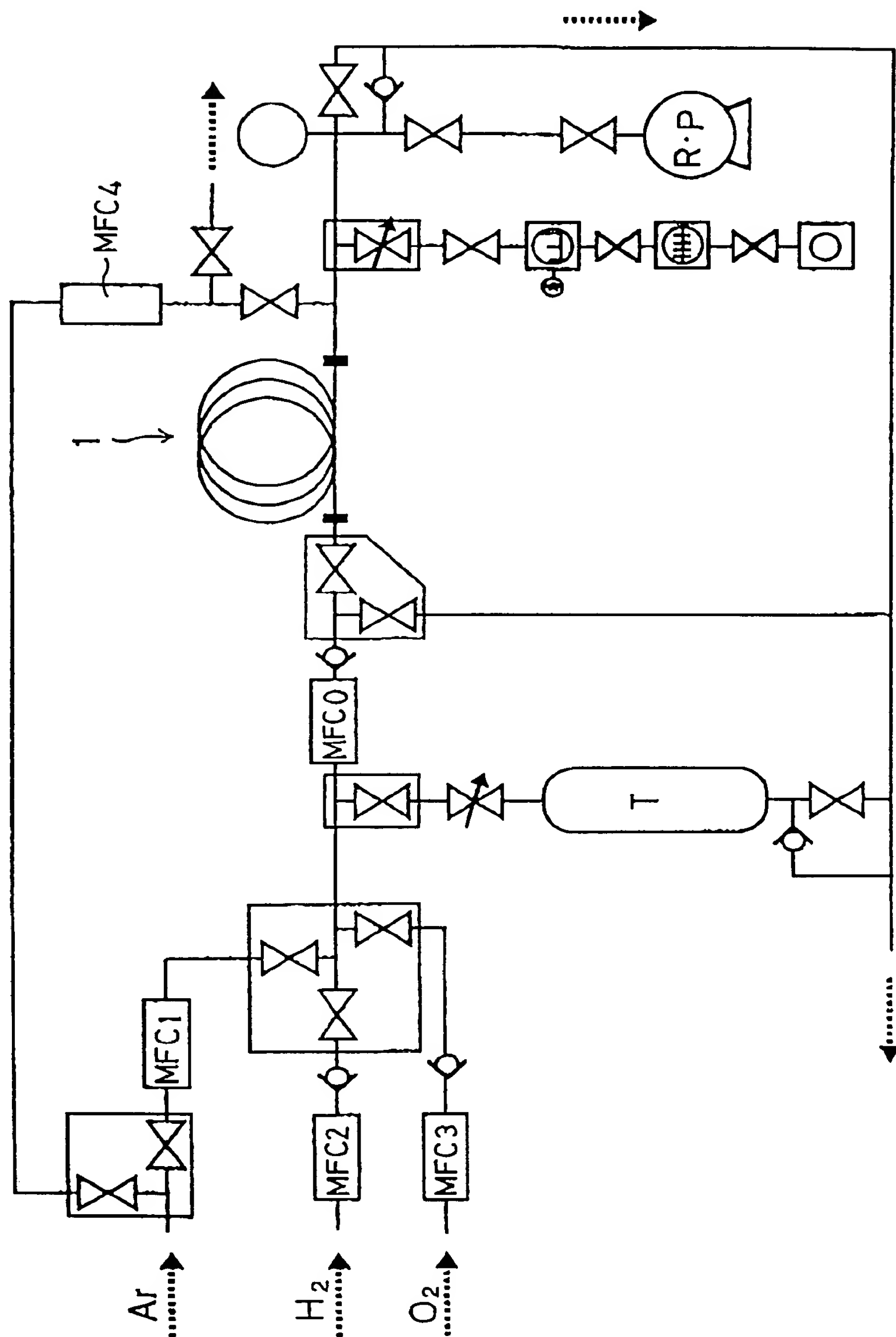


FIG. 15

$H_2 : O_2 = 67\% : 33\%$, 25scc/min

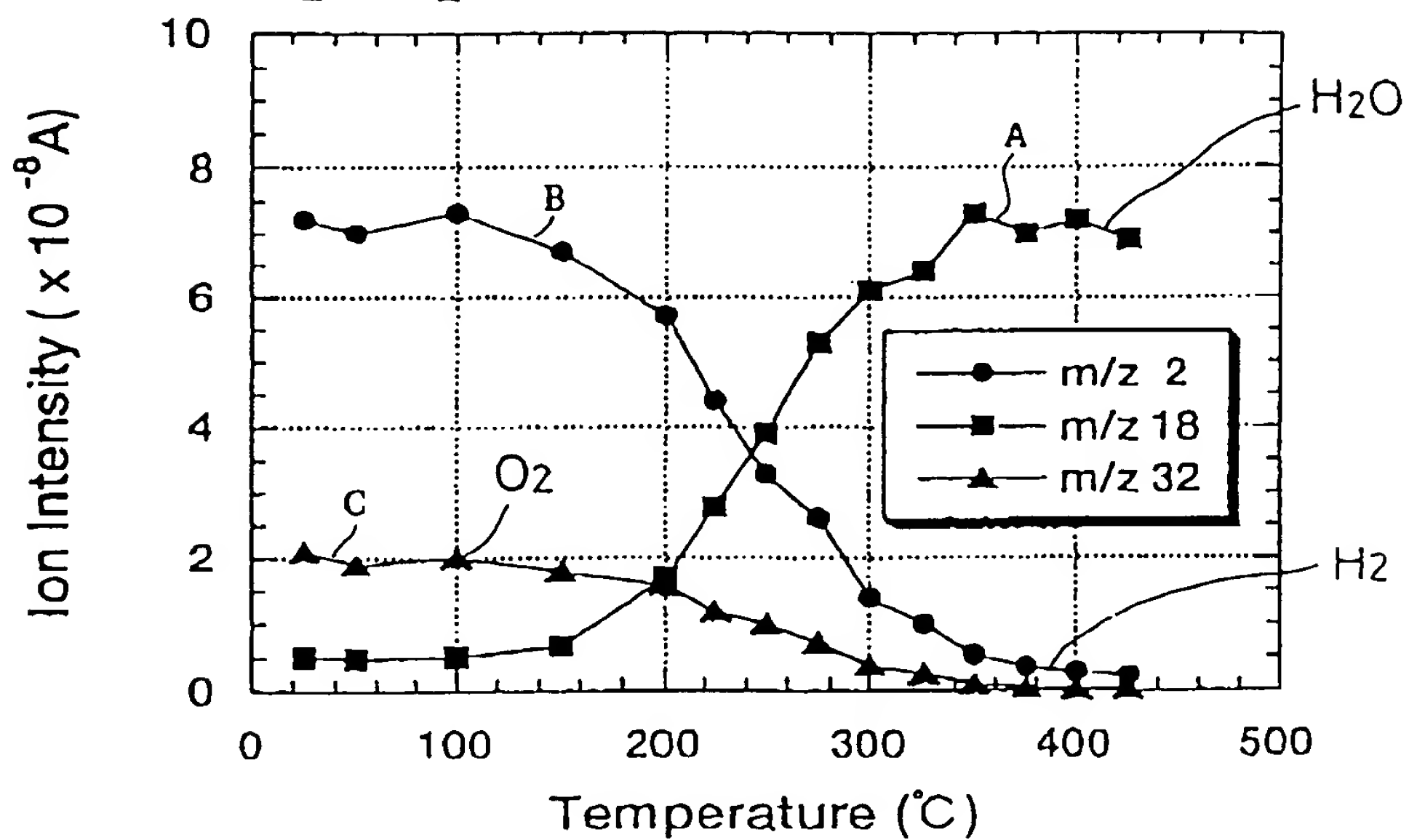


FIG. 16

$H_2 : O_2 = 20\% : 10\%$, 75scc/min

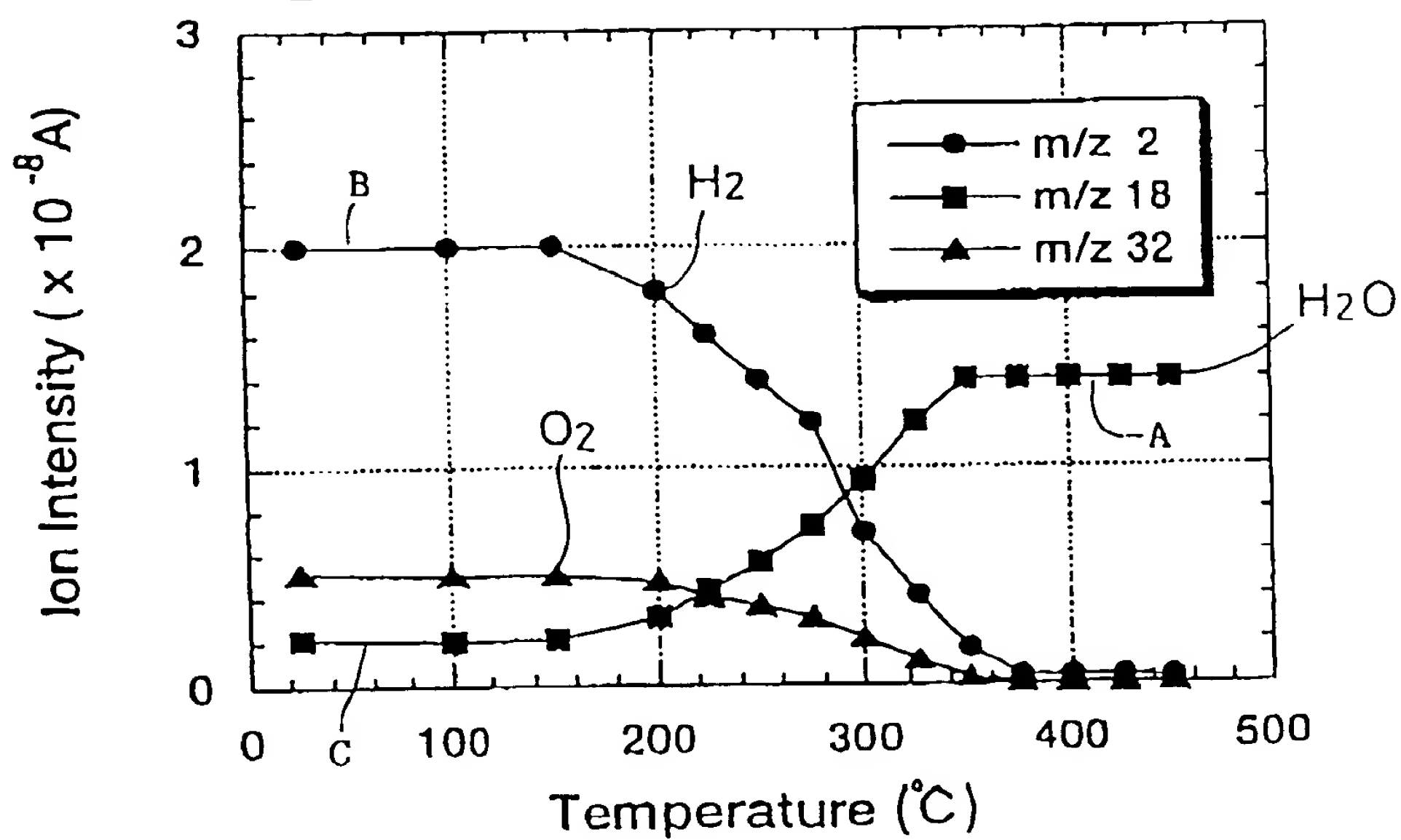


FIG. 17

$H_2 : O_2 = 75\% : 25\%, 25\text{scc/min}$

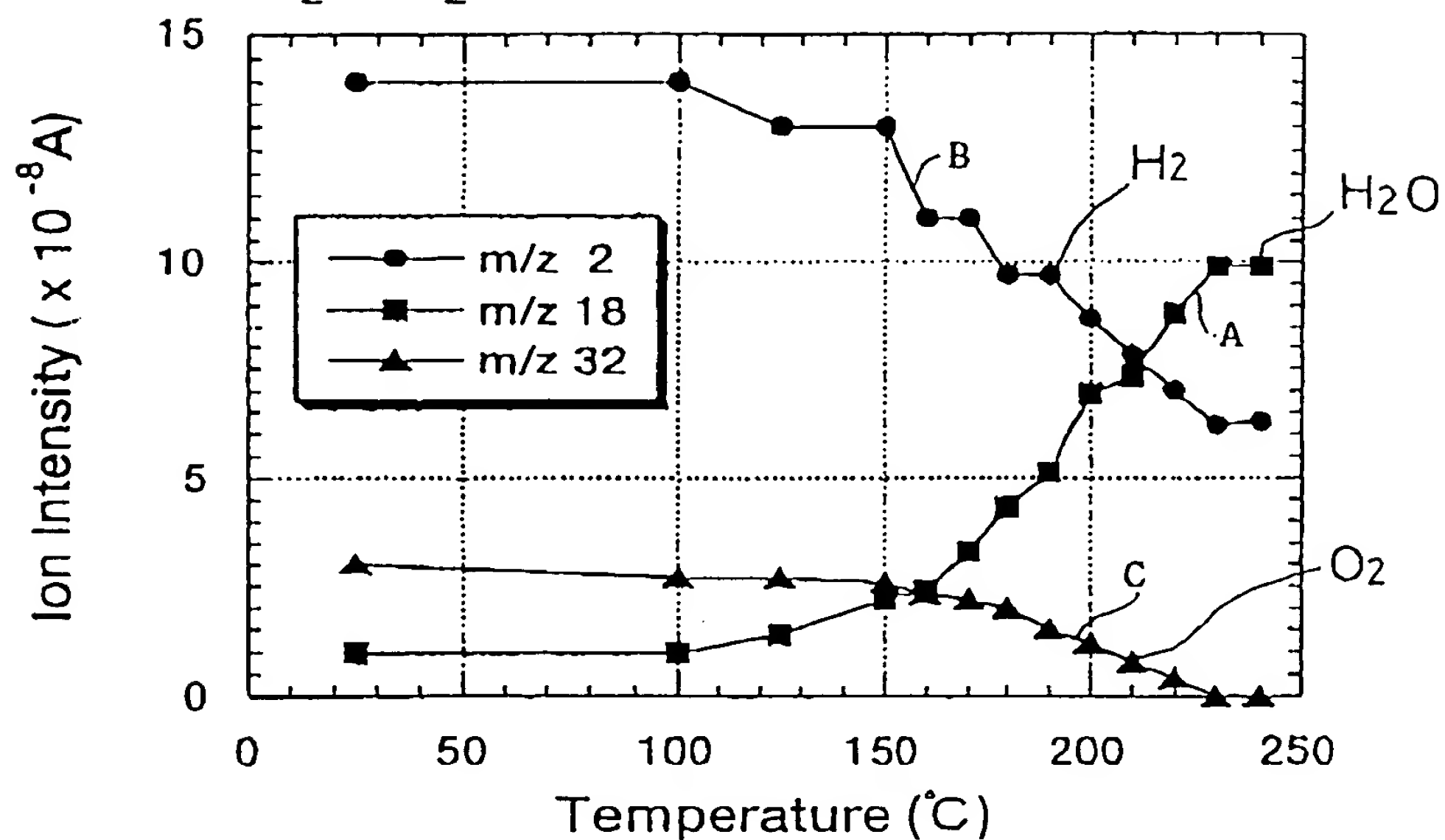


FIG. 18

$H_2 : O_2 = 30\% : 10\%, 25\text{scc/min}$

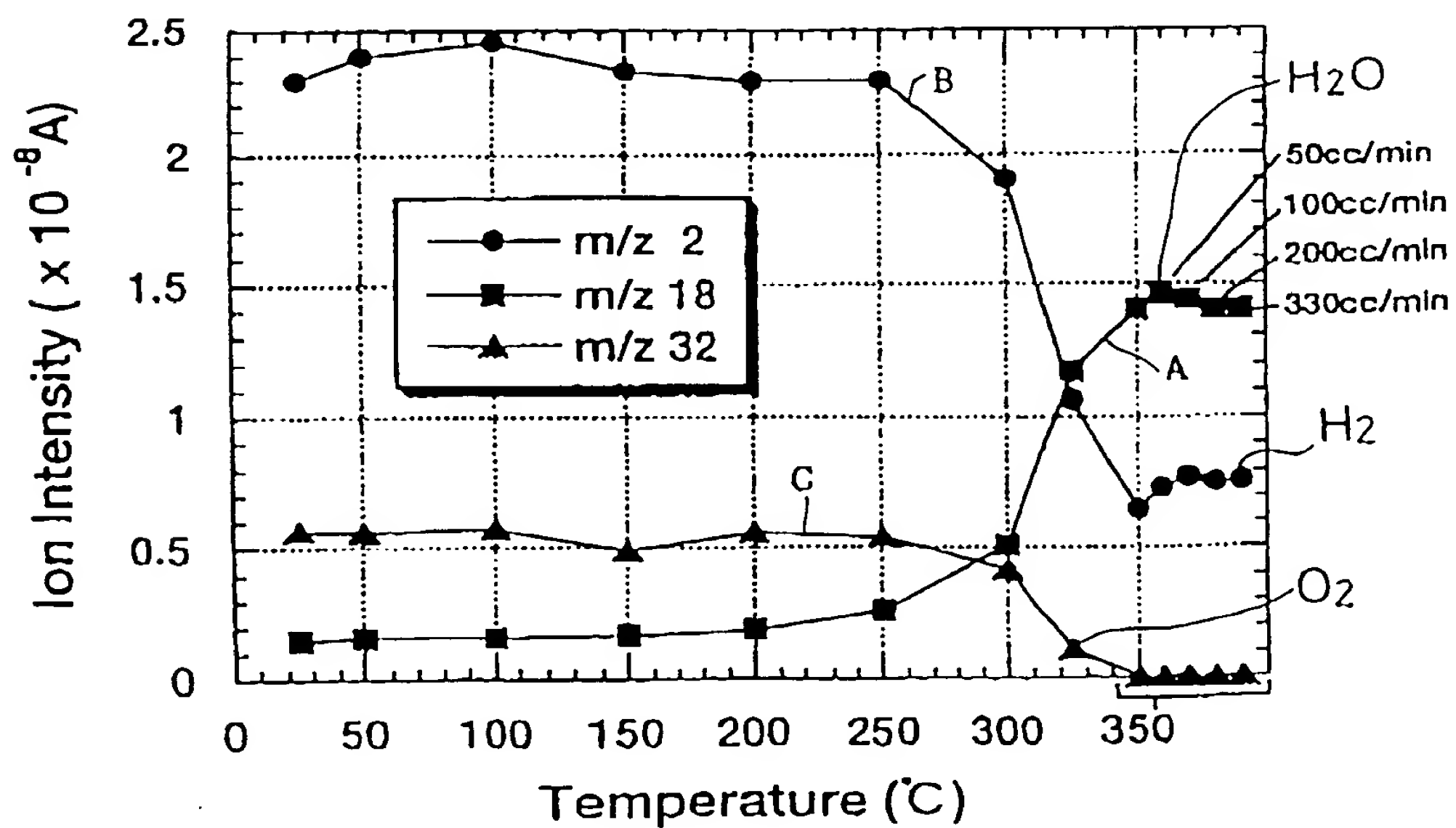


FIG. 19

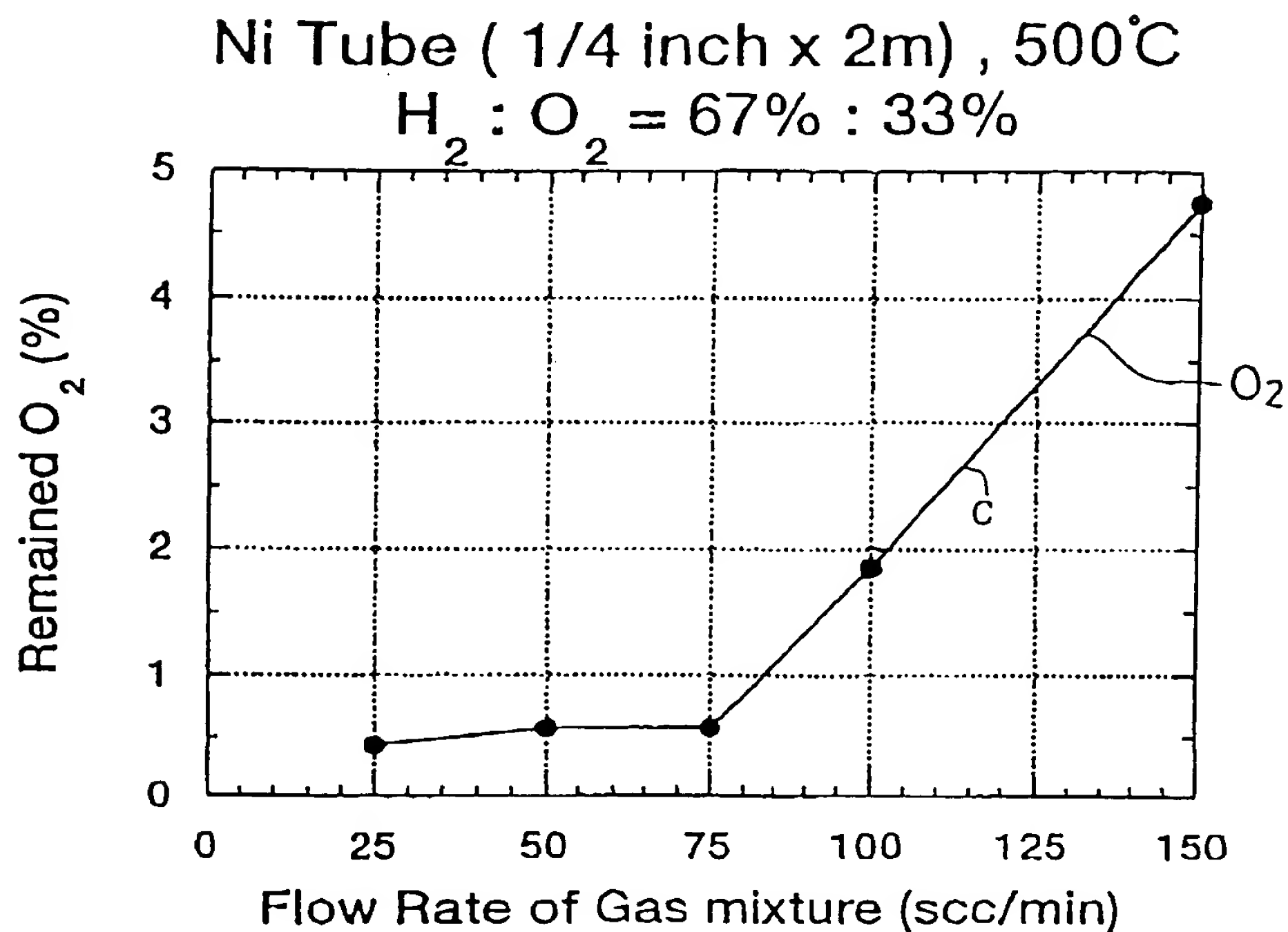


FIG. 20

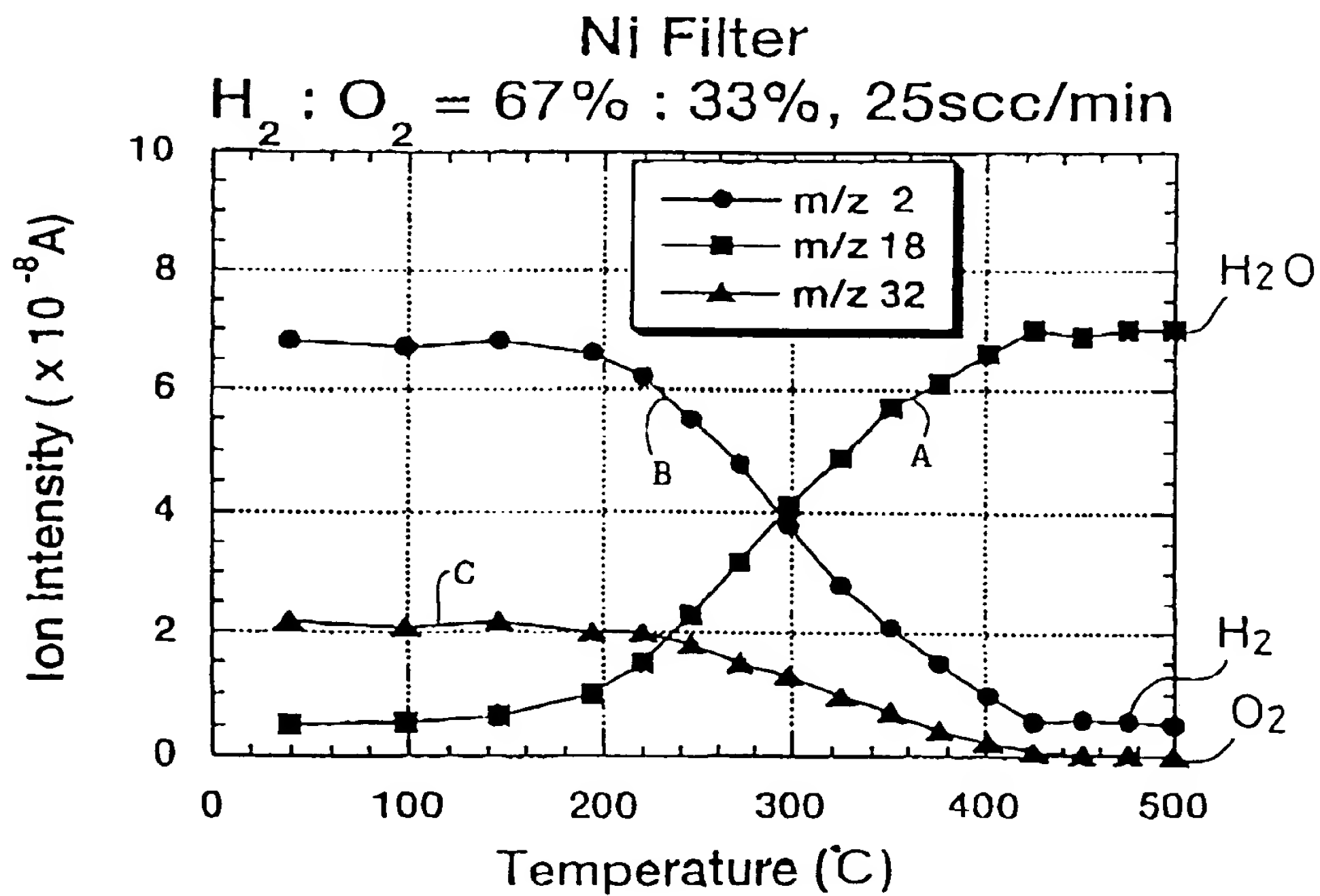


FIG. 21

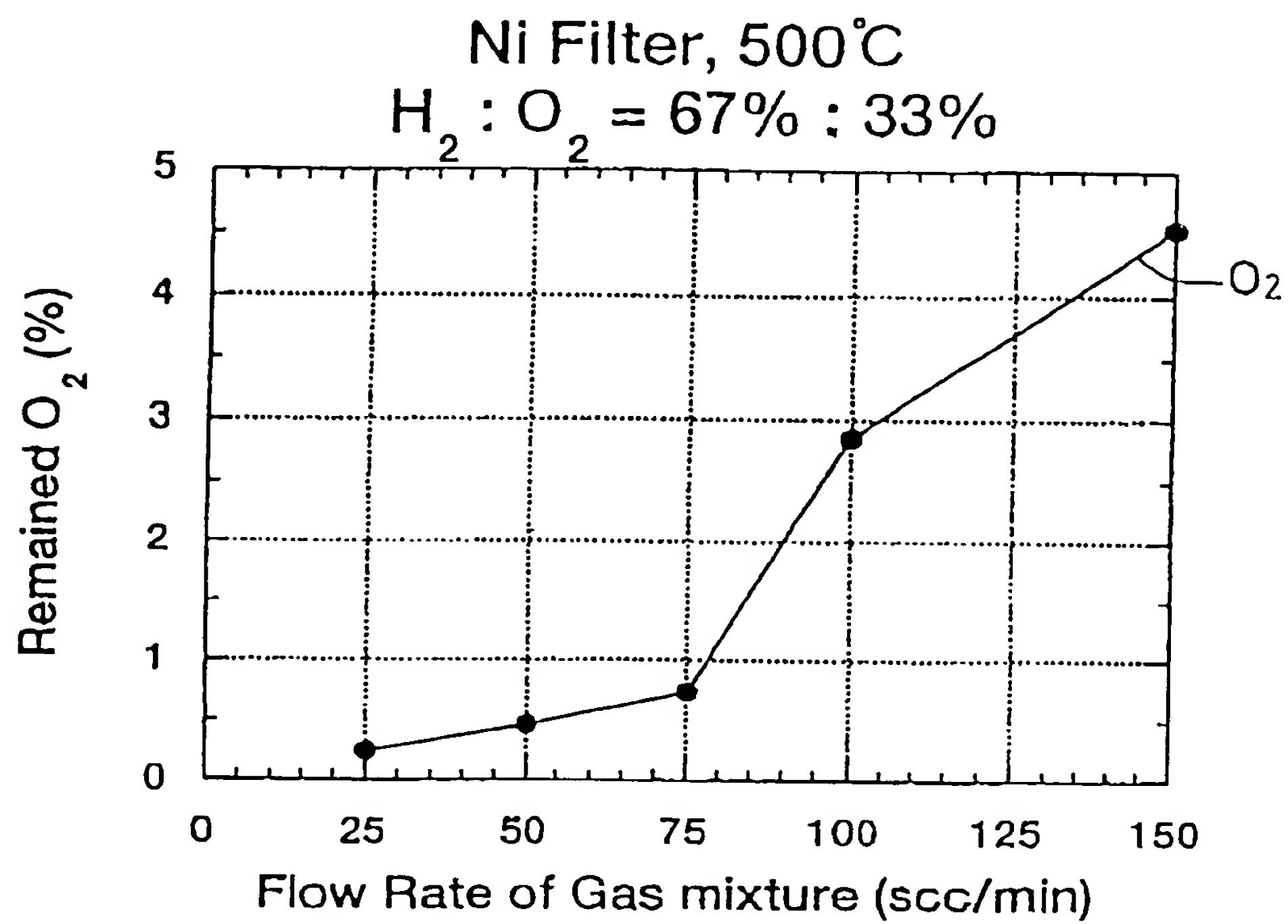


FIG. 22

Ni Ribbon (t 0.3 x 20 x 1000mm)

$H_2 : O_2 = 67\% : 33\%$, 25scc/min

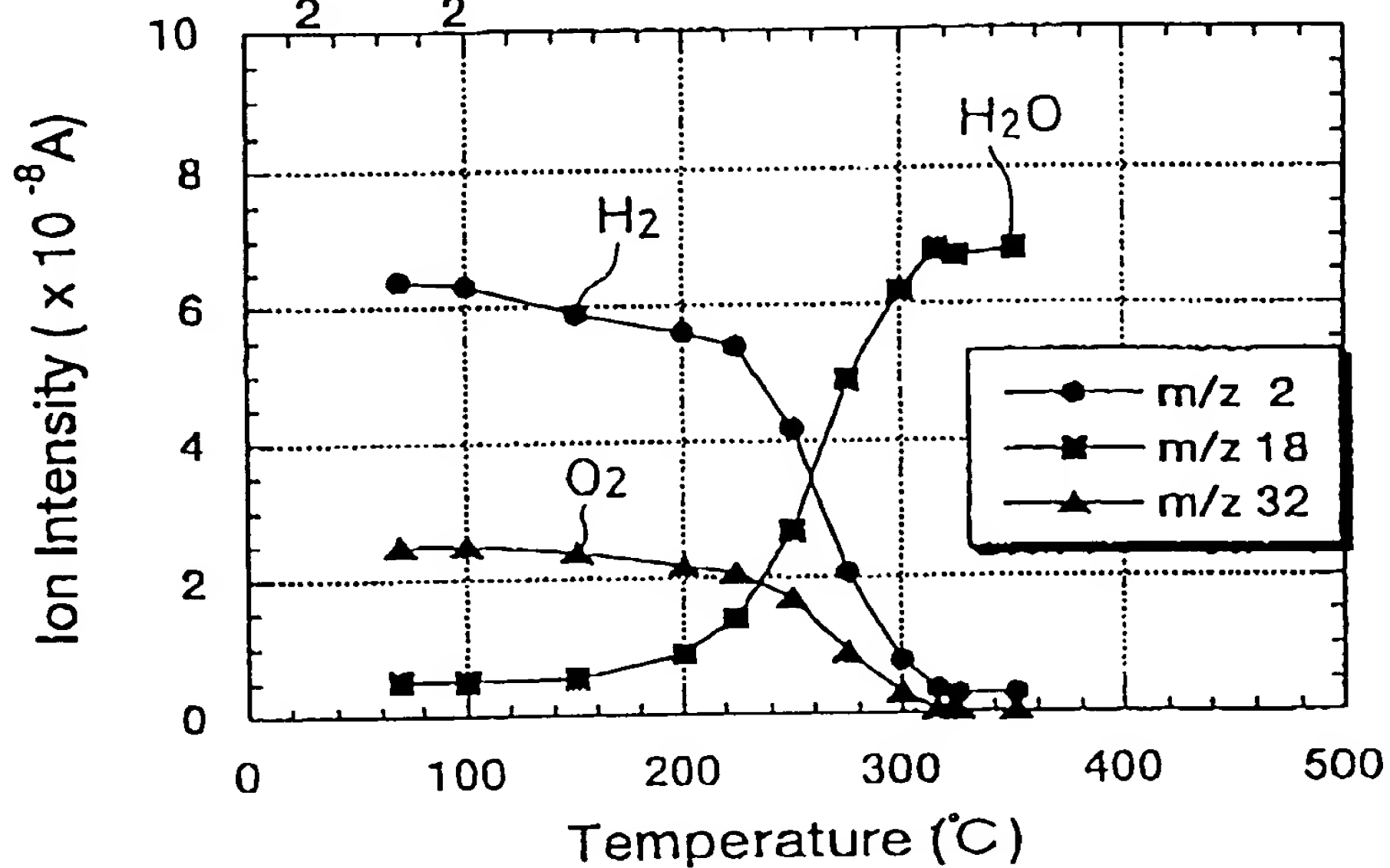


FIG. 23

Ni Ribbon (t 0.3 x 20 x 1000mm) , 500°C
 $H_2 : O_2 = 67\% : 33\%$

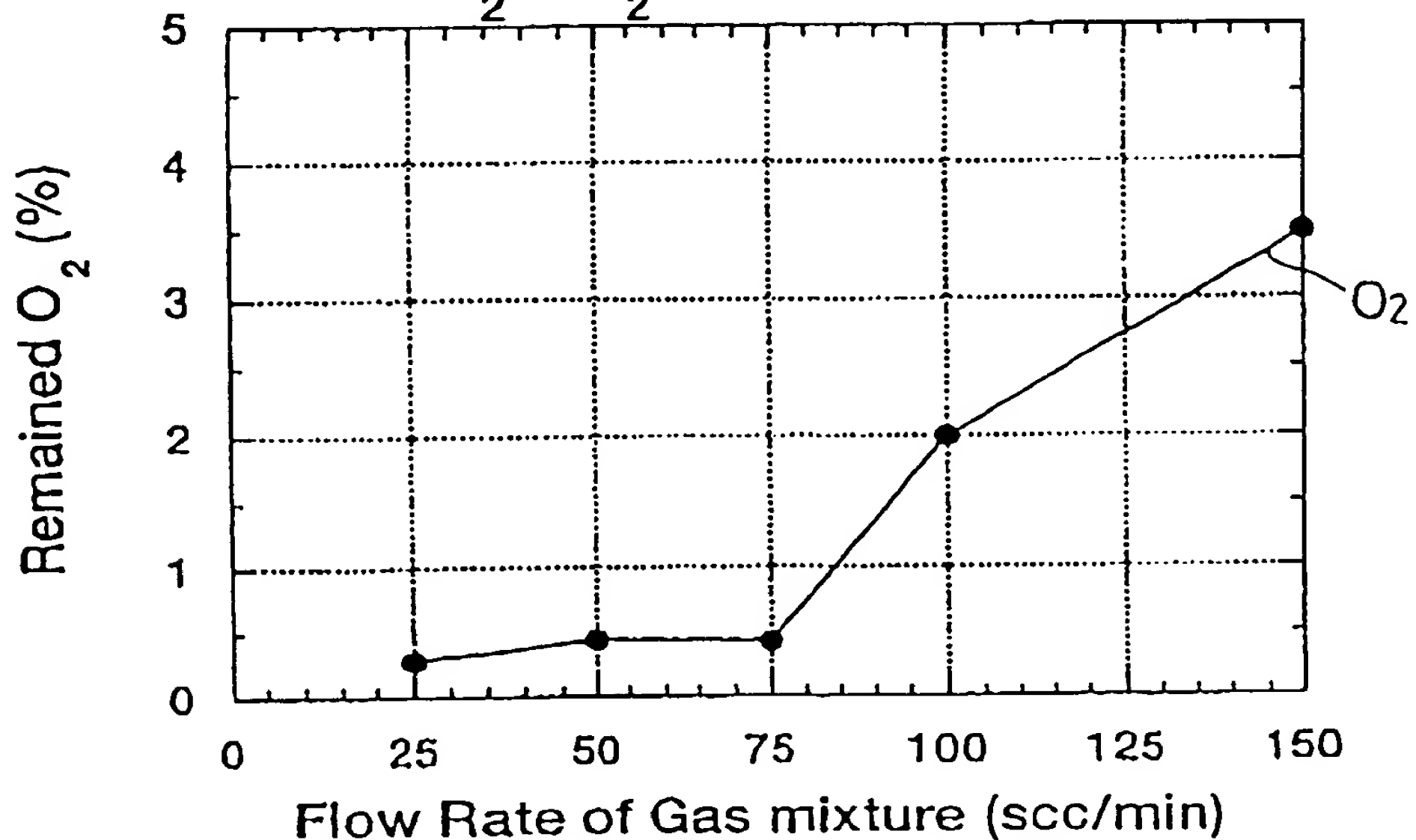


FIG. 24

500°C, 25scc/min
 RESPONSIVENESS (AFTER STOP OF GAS SUPPLY)

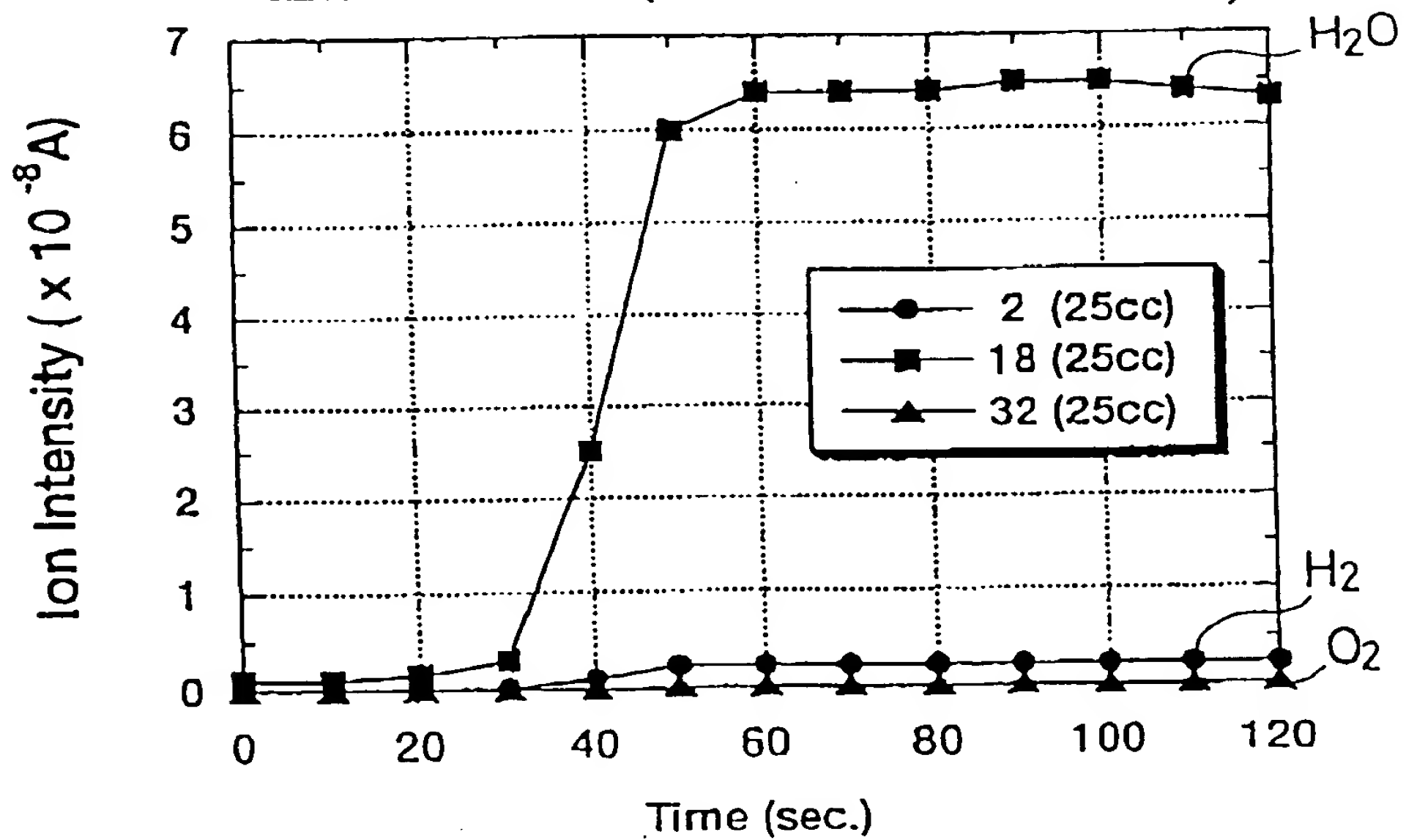


FIG. 25

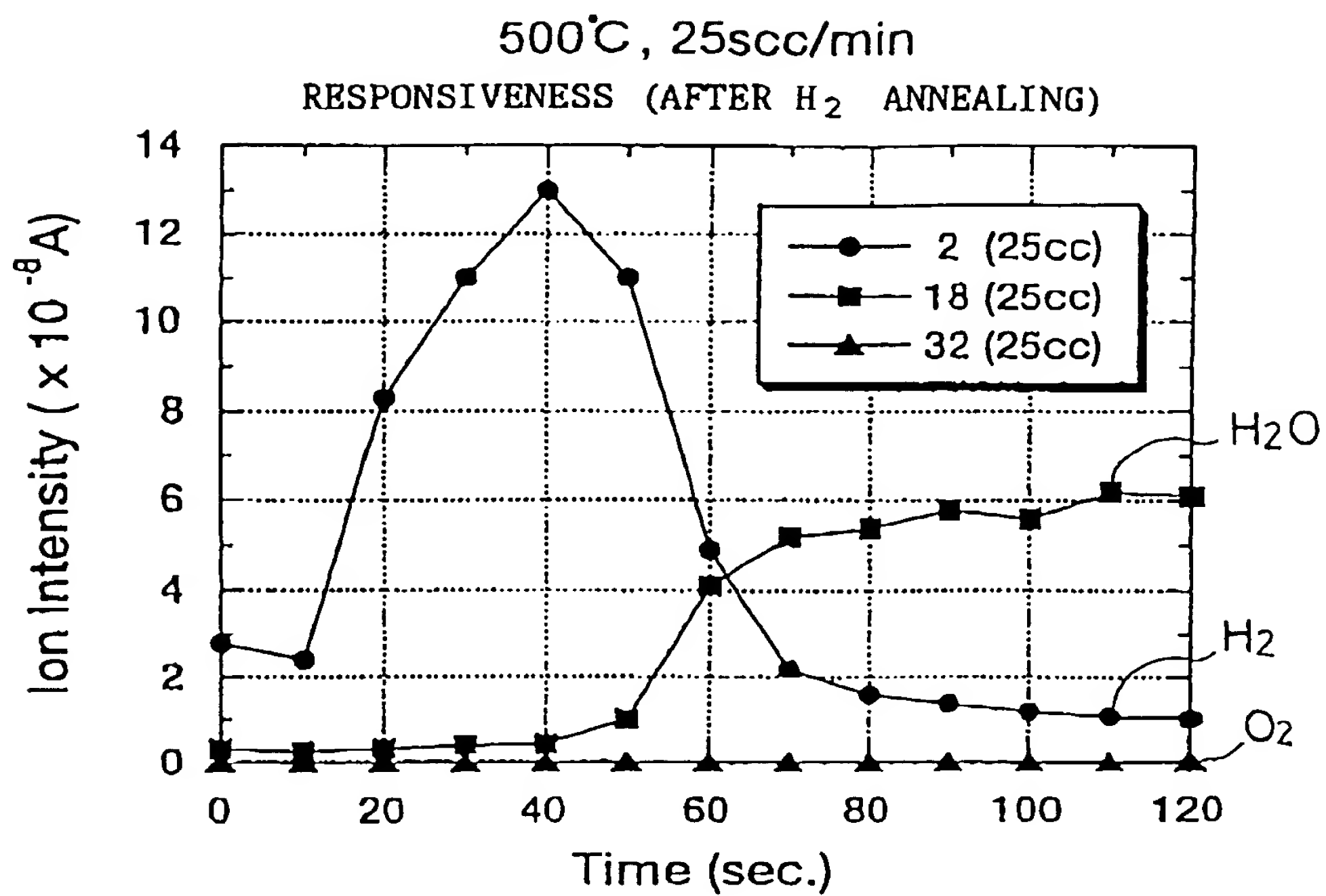


FIG. 26

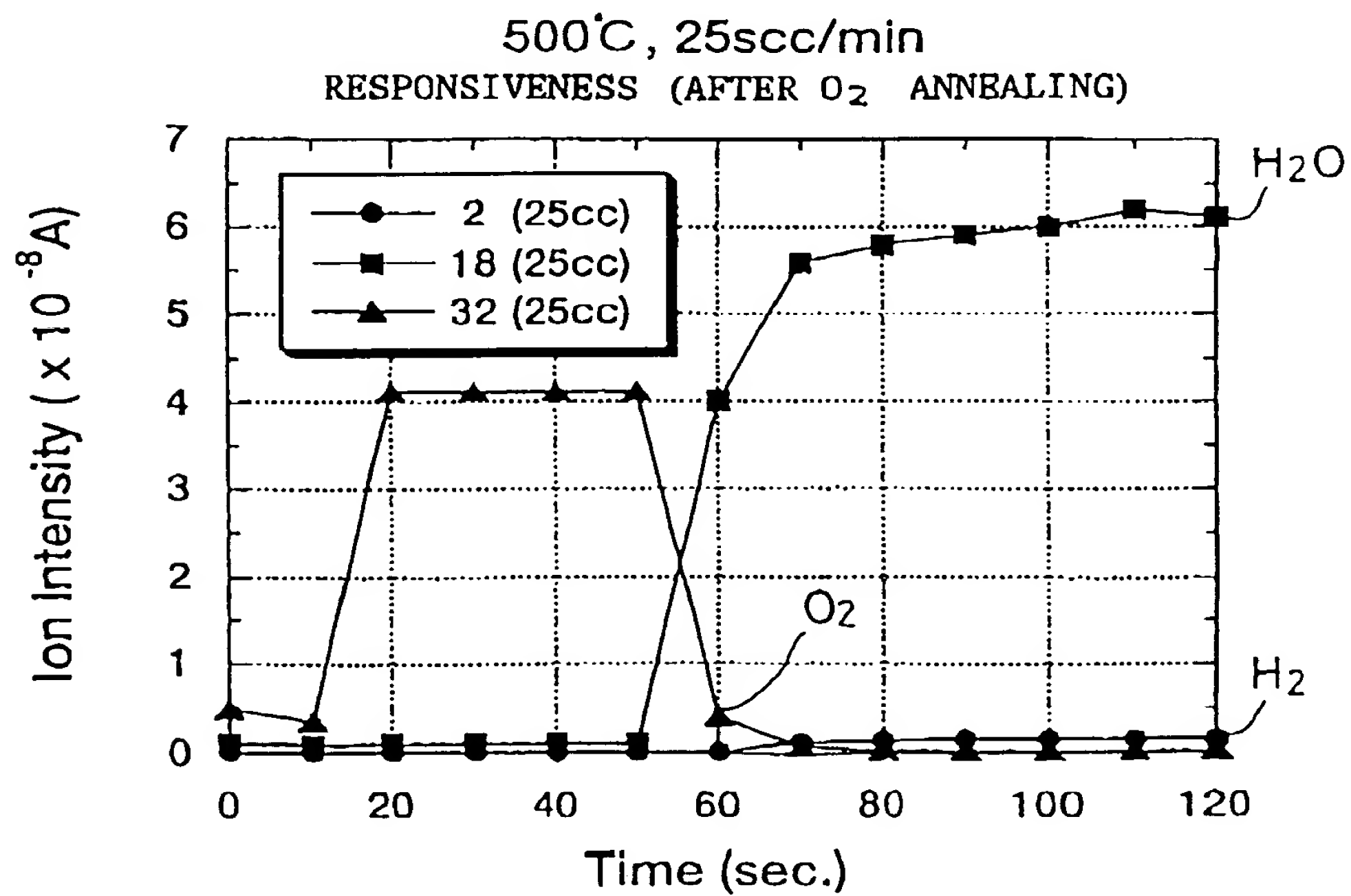


FIG. 27

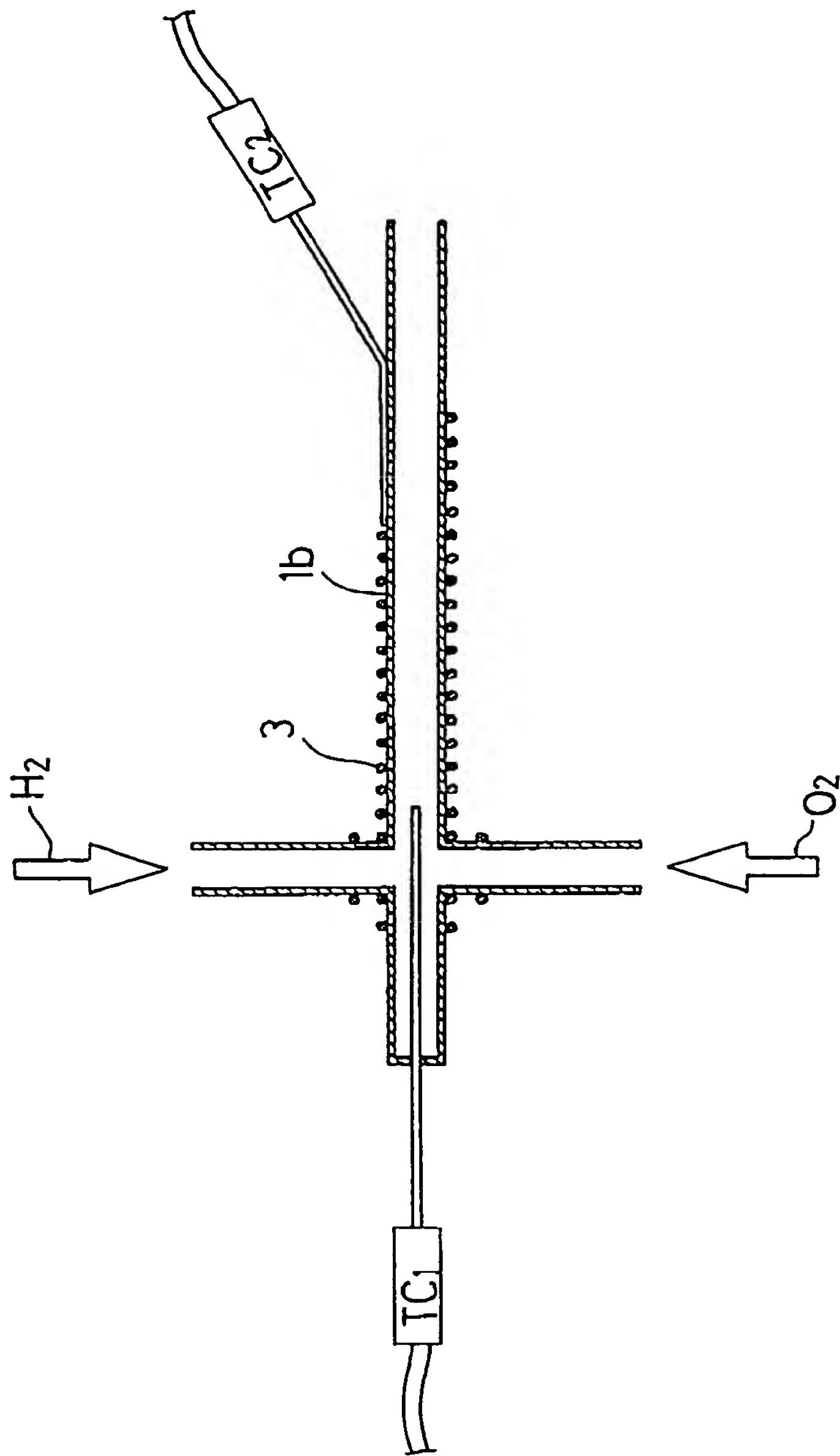


FIG. 28

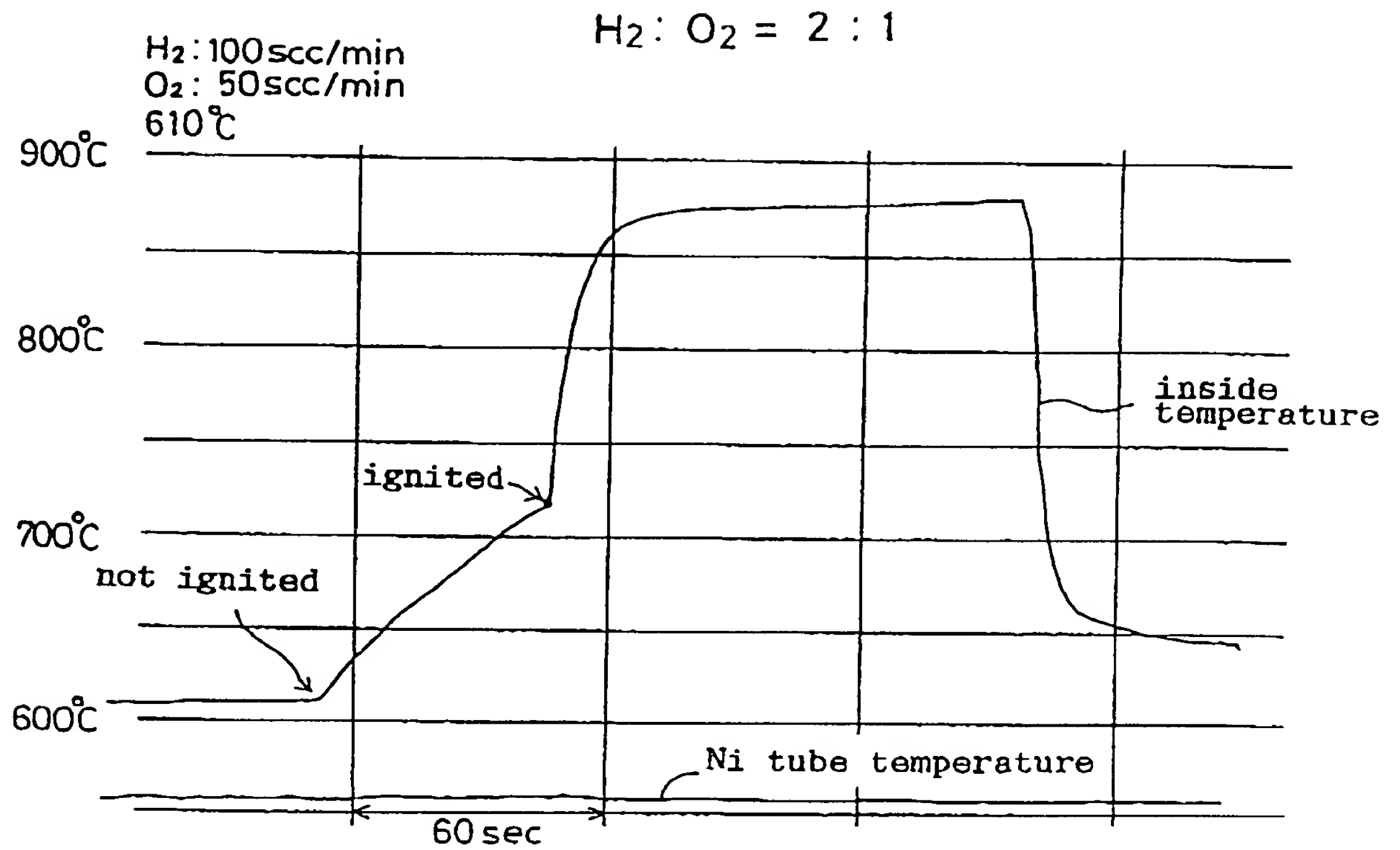


FIG. 29

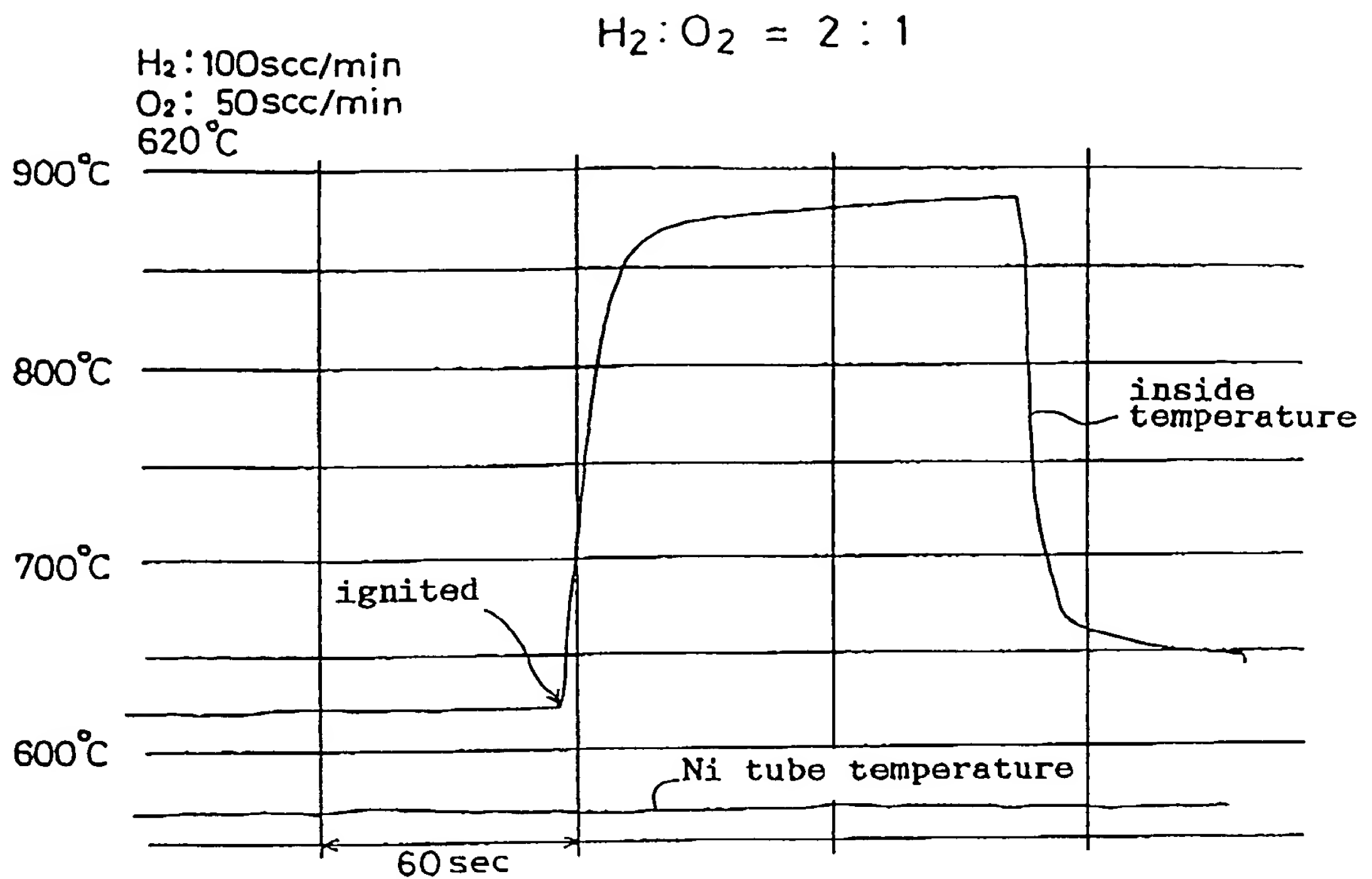


FIG. 30

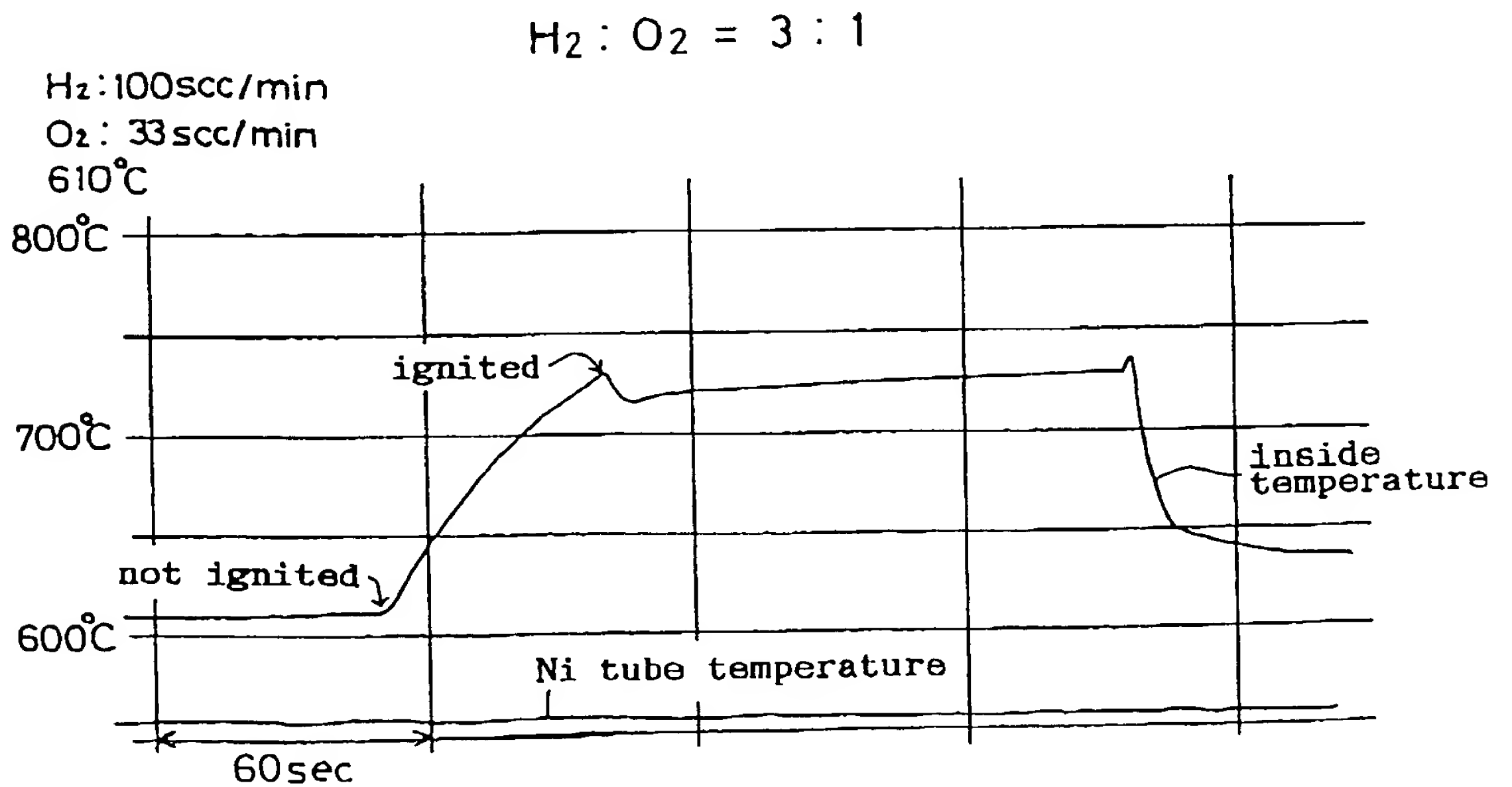


FIG. 31

H₂: 100scc/min
O₂: 33scc/min
620°C

H₂: O₂ = 3 : 1

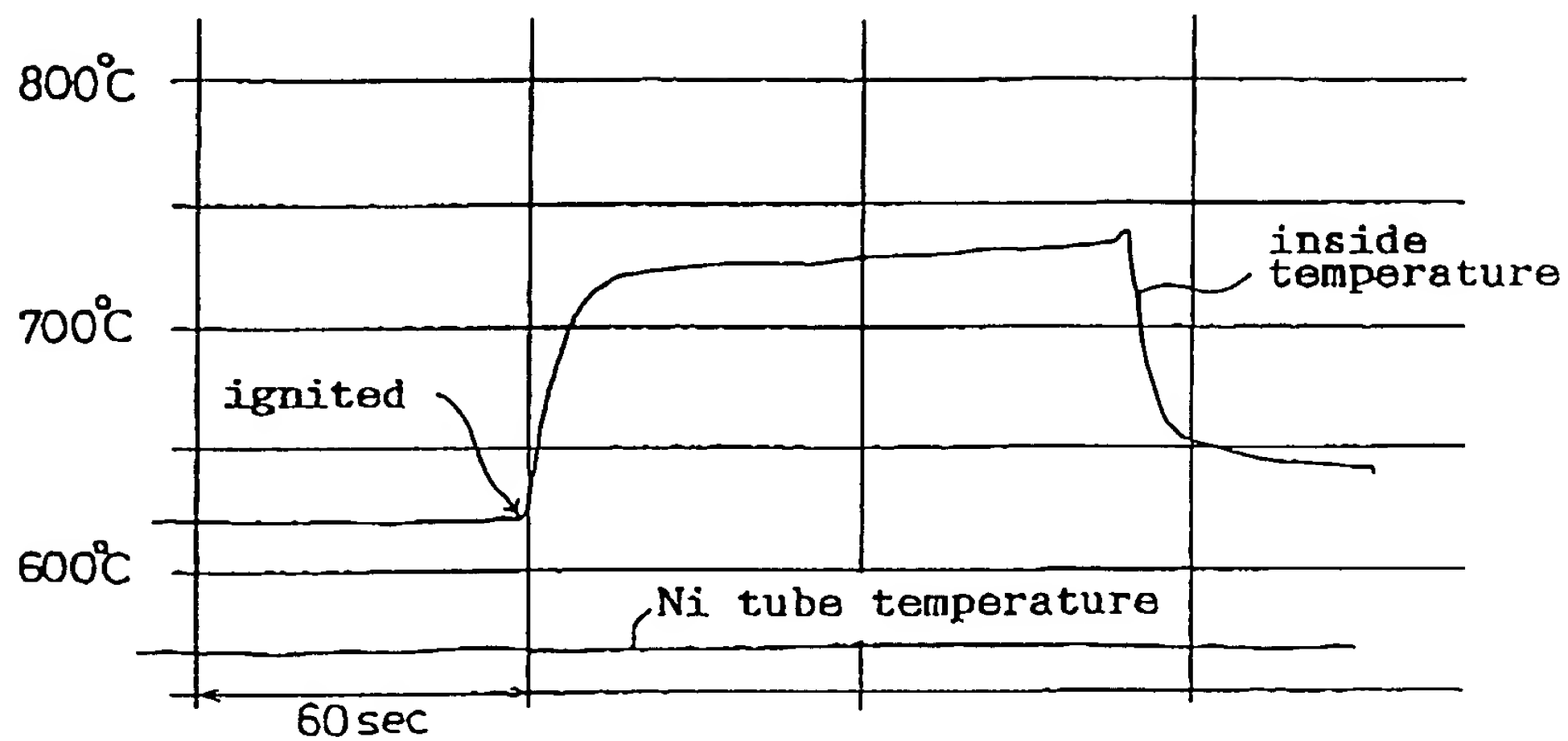


FIG. 32

$H_2 : O_2 = 4 : 3$

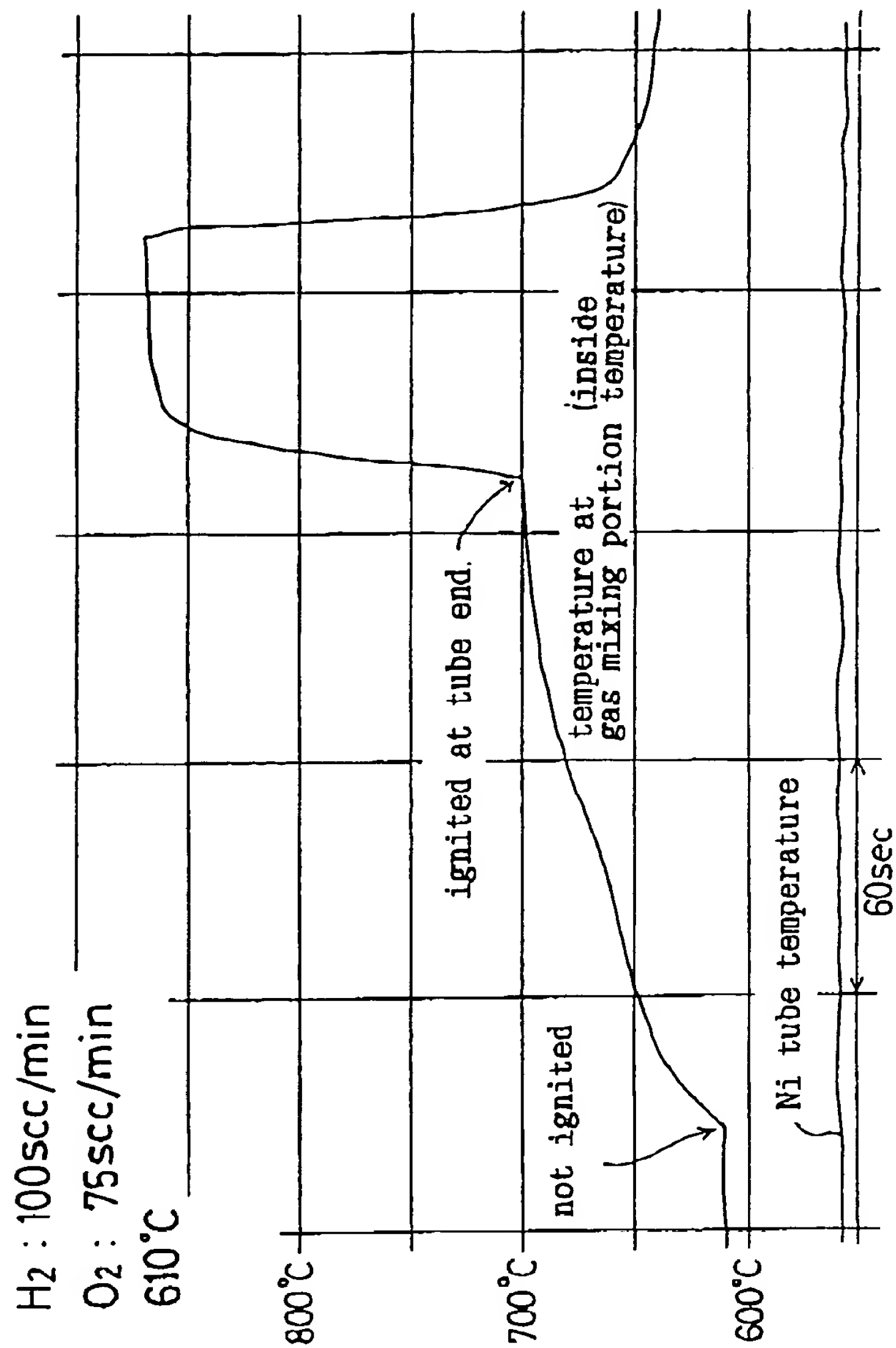


FIG. 33

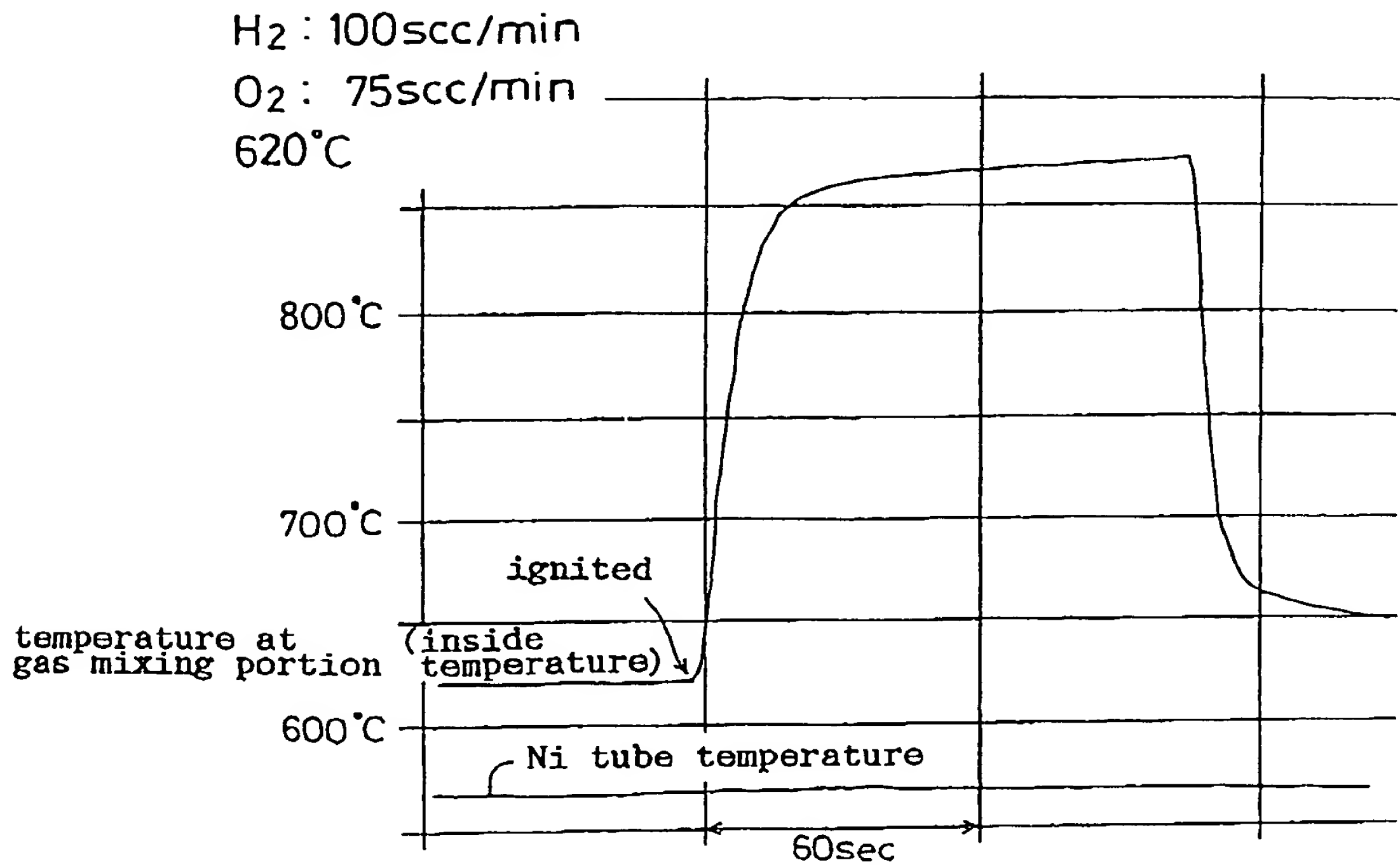


FIG. 34

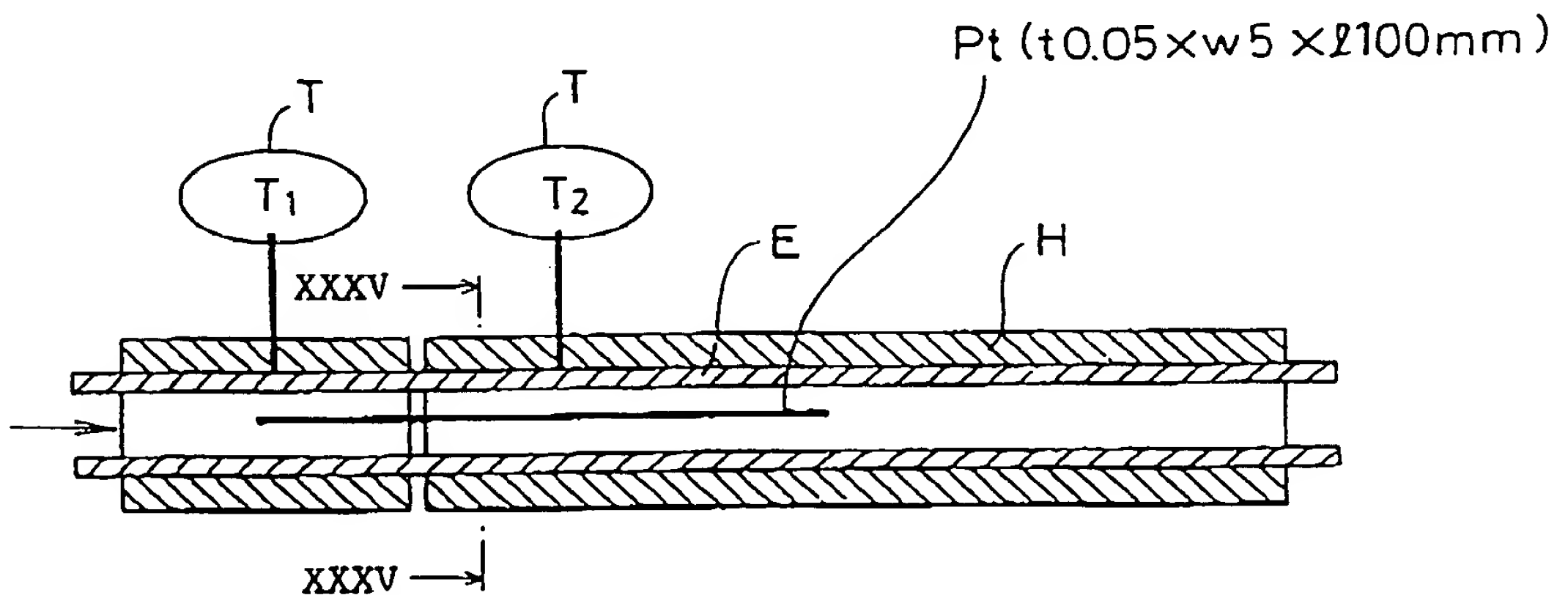


FIG. 35

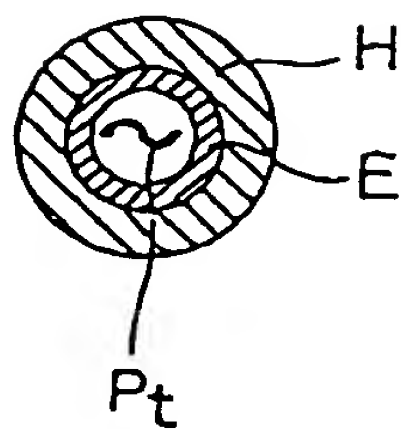


FIG. 36

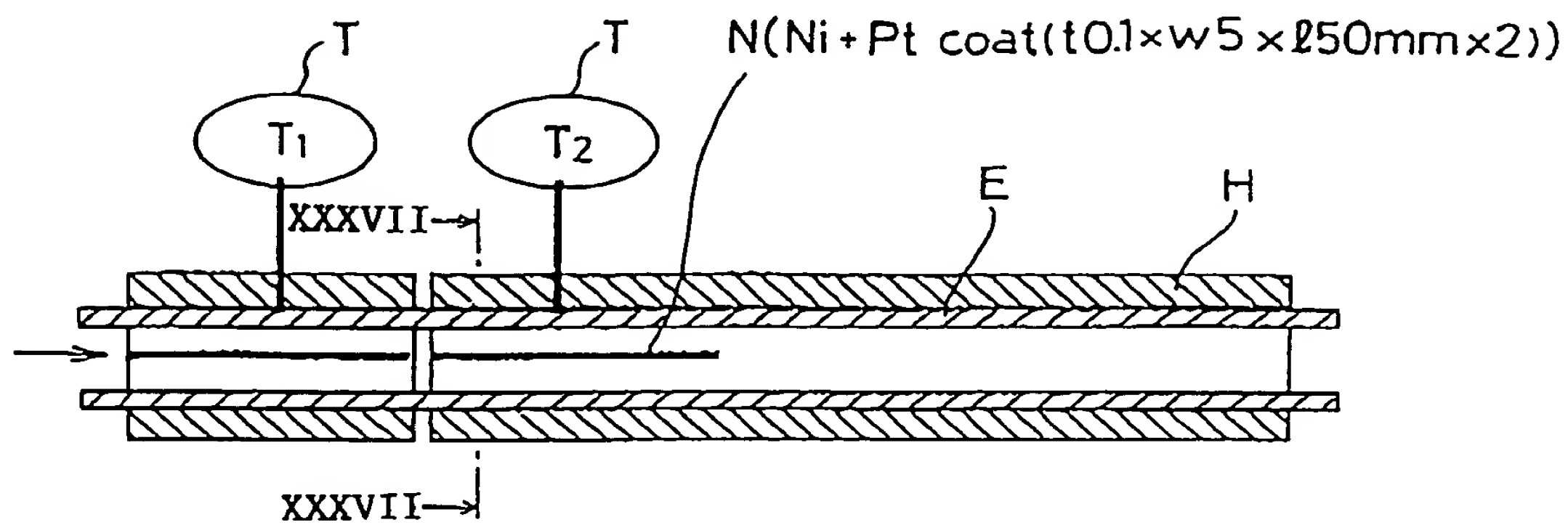


FIG. 37

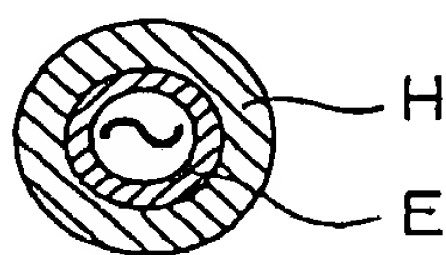


FIG. 38

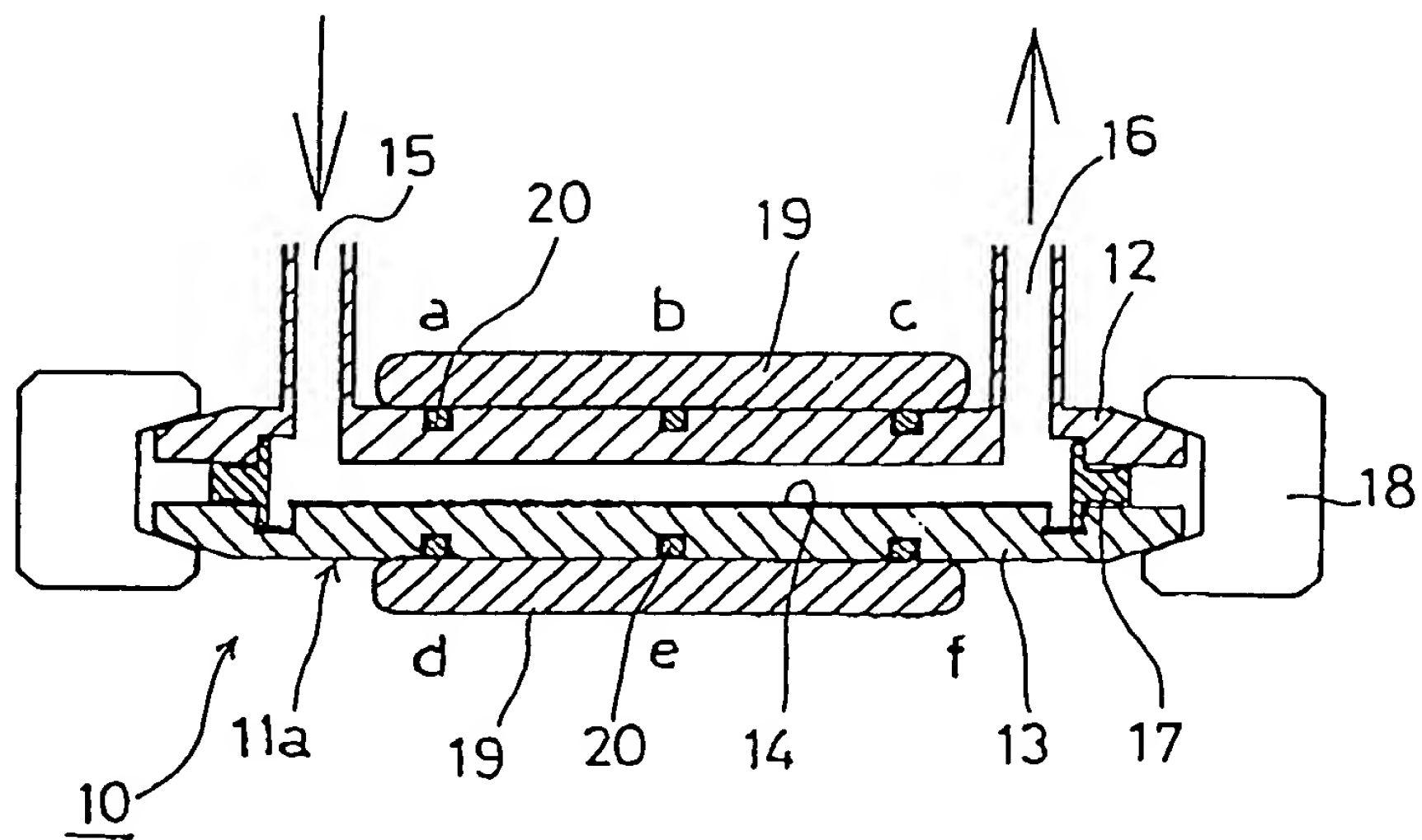


FIG. 39

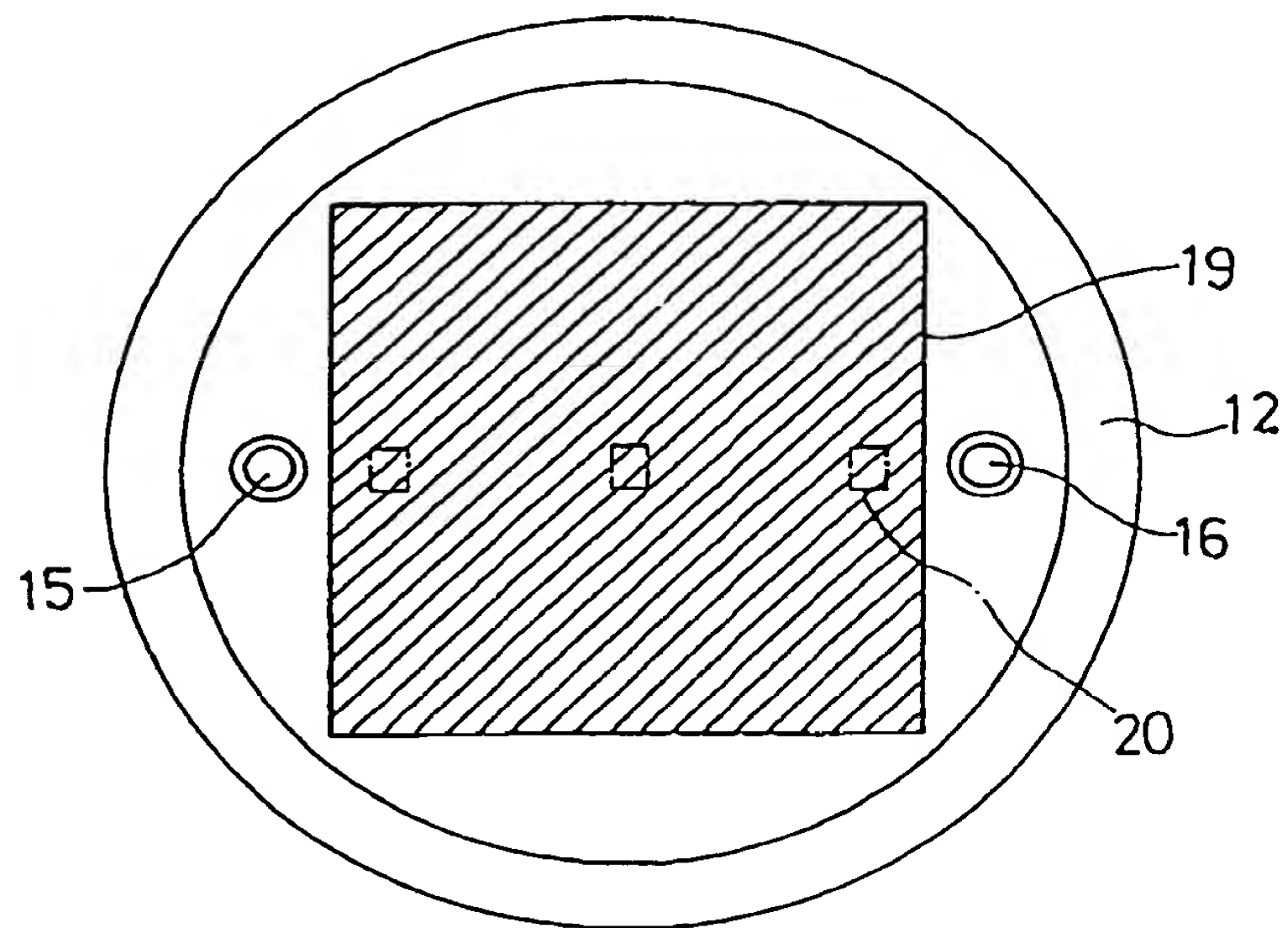


FIG. 40

NO.3 TEST

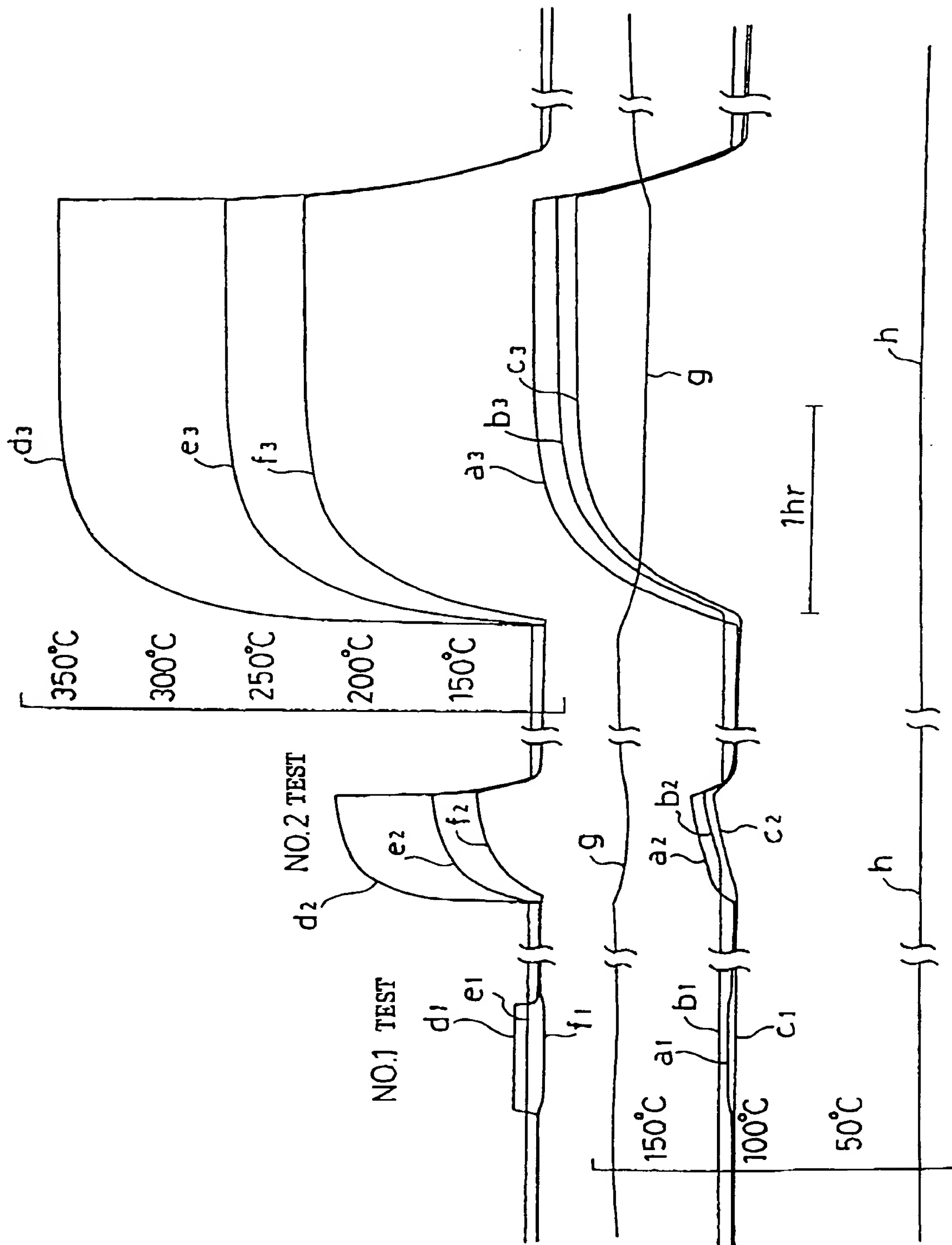


FIG. 41

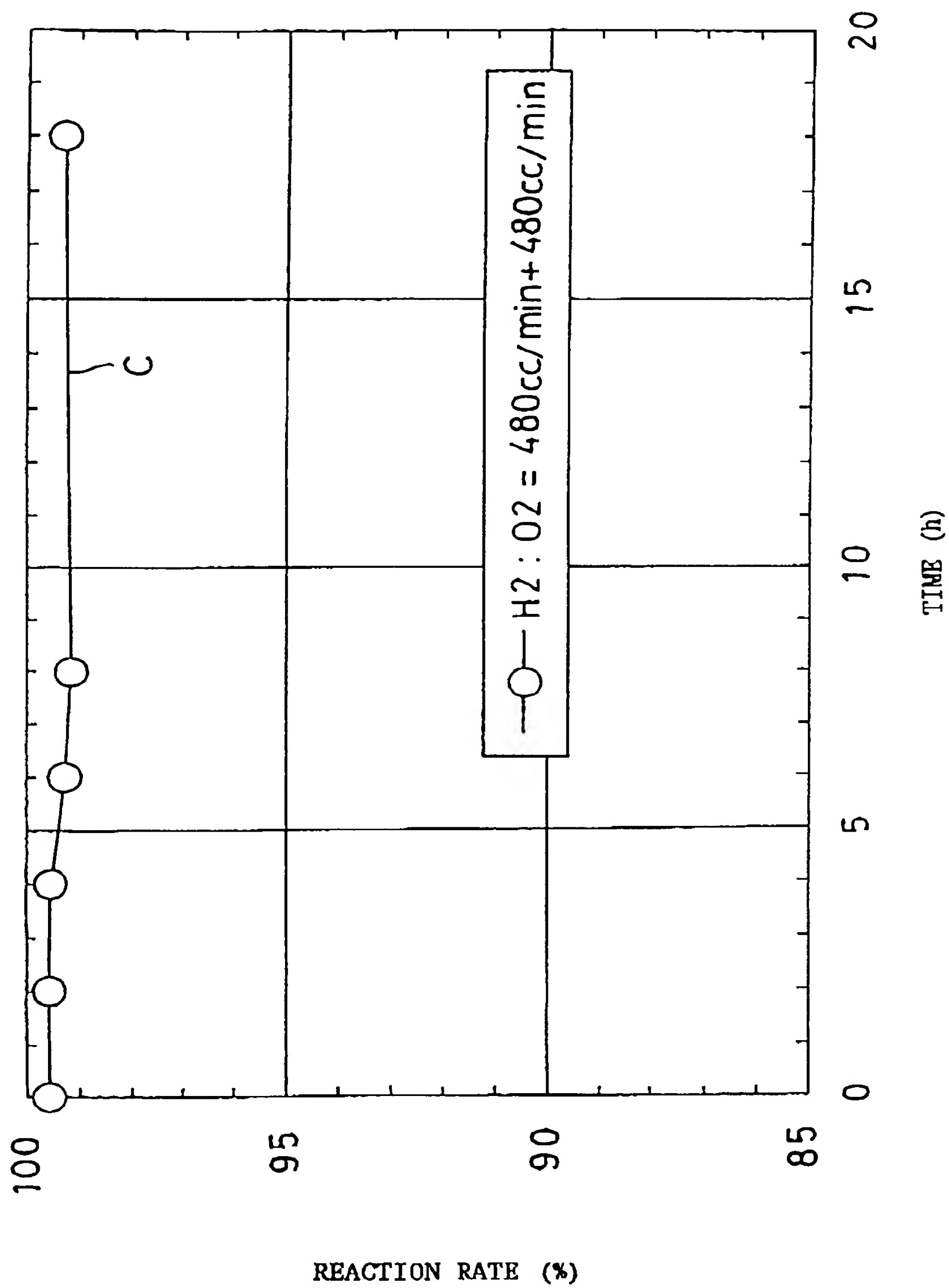


FIG. 42

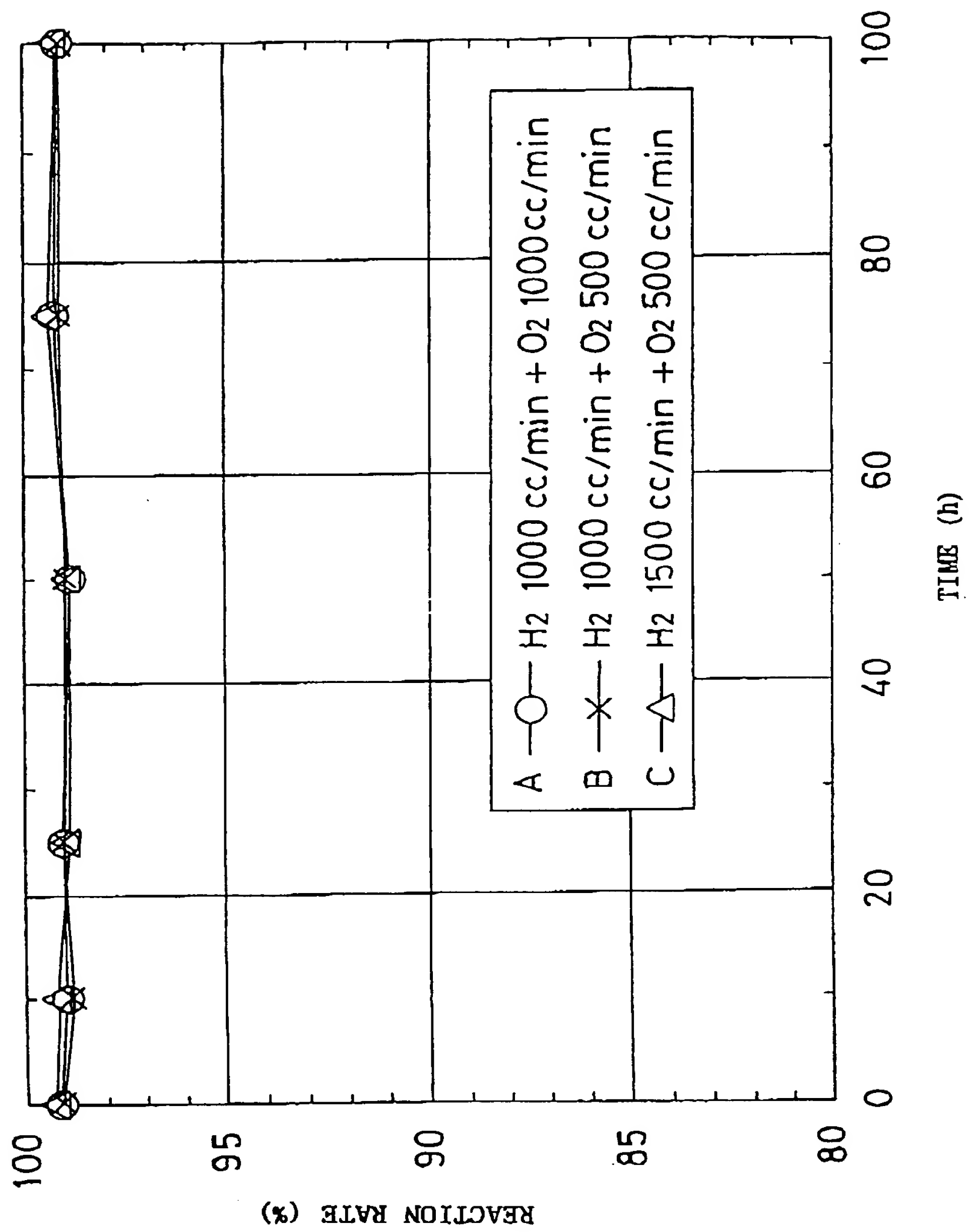


FIG. 43

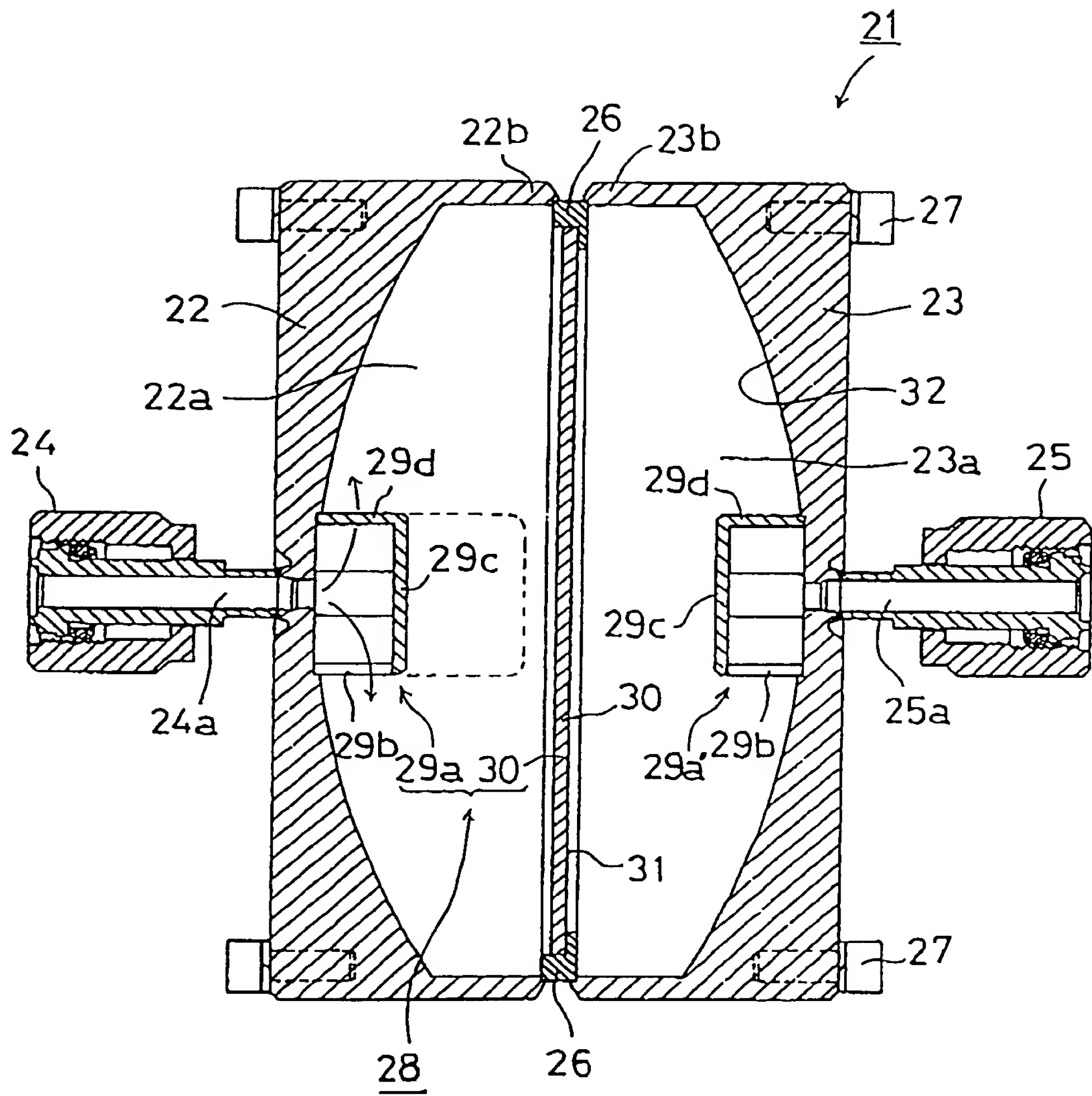


FIG. 44

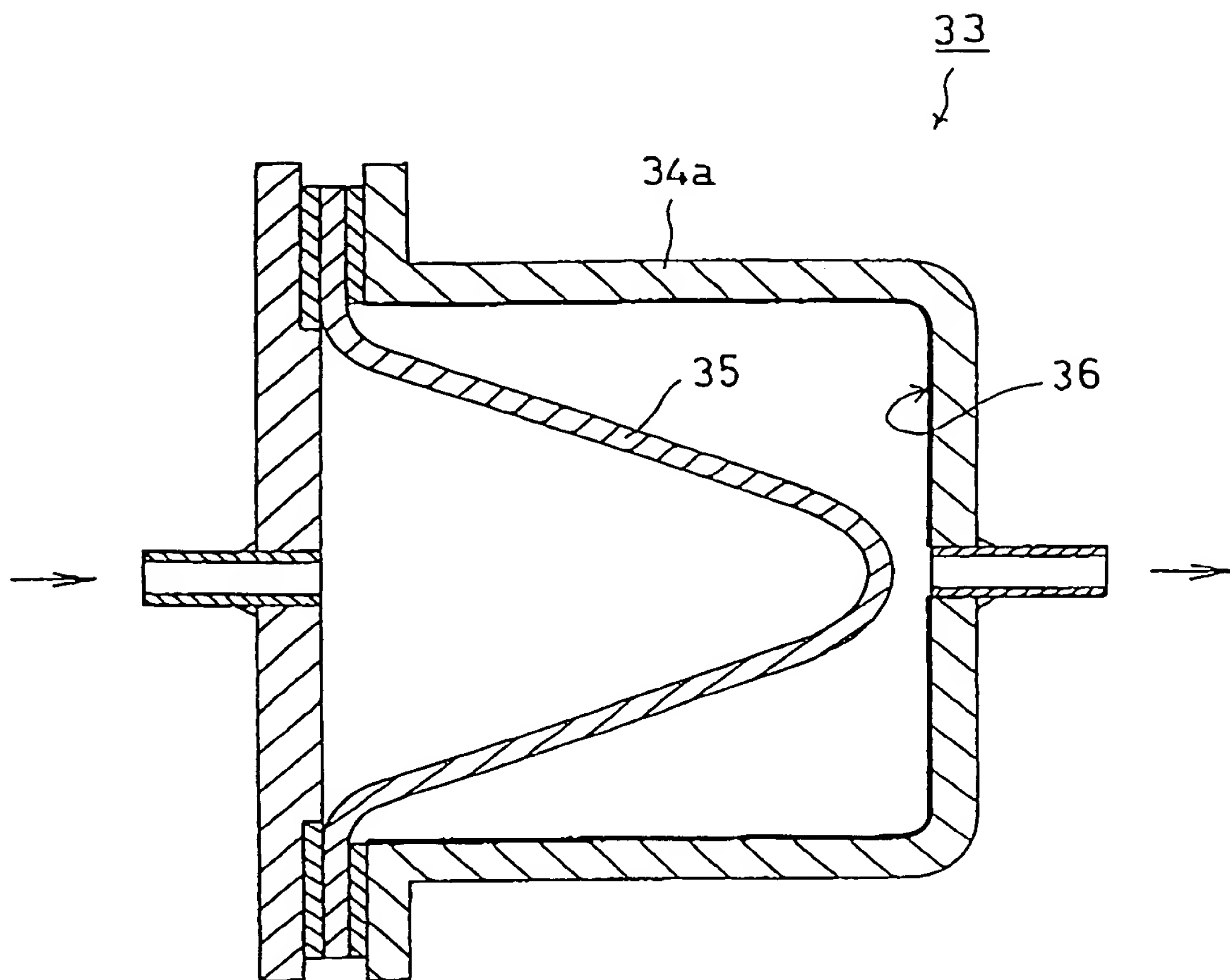


FIG. 45

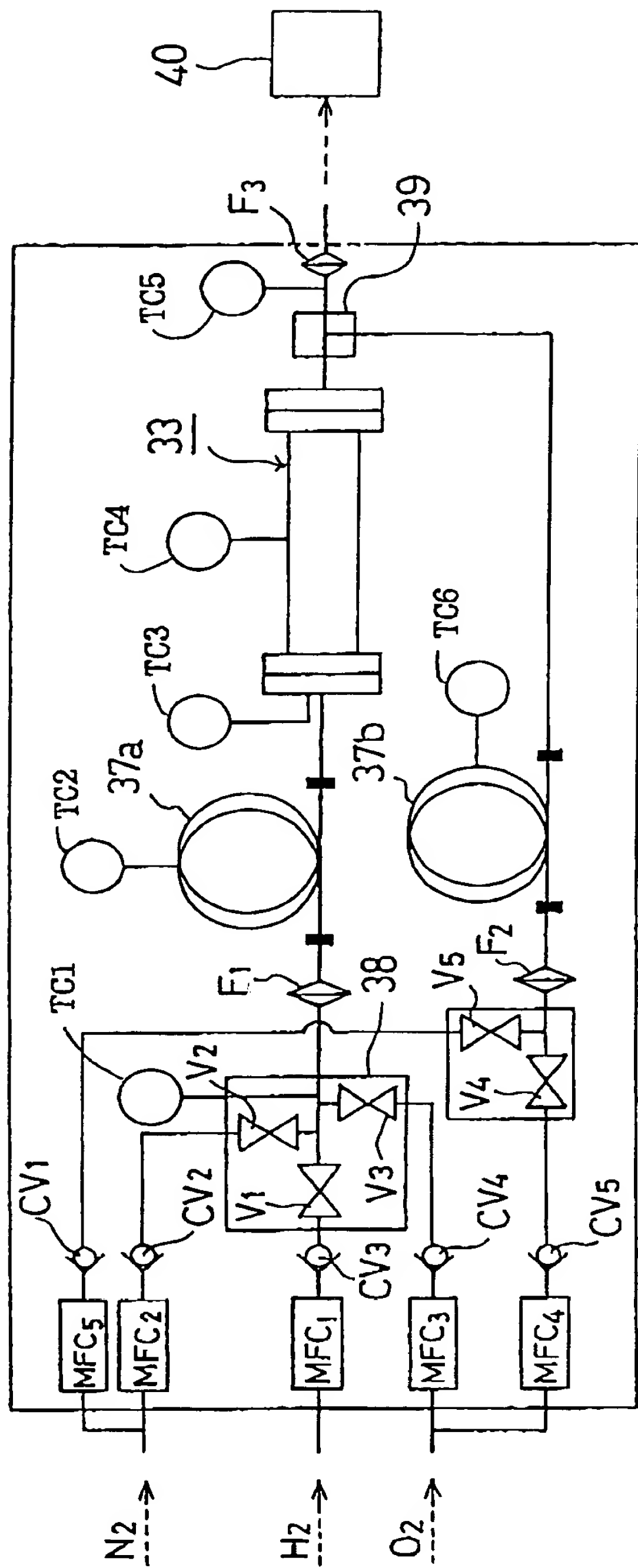


FIG. 46

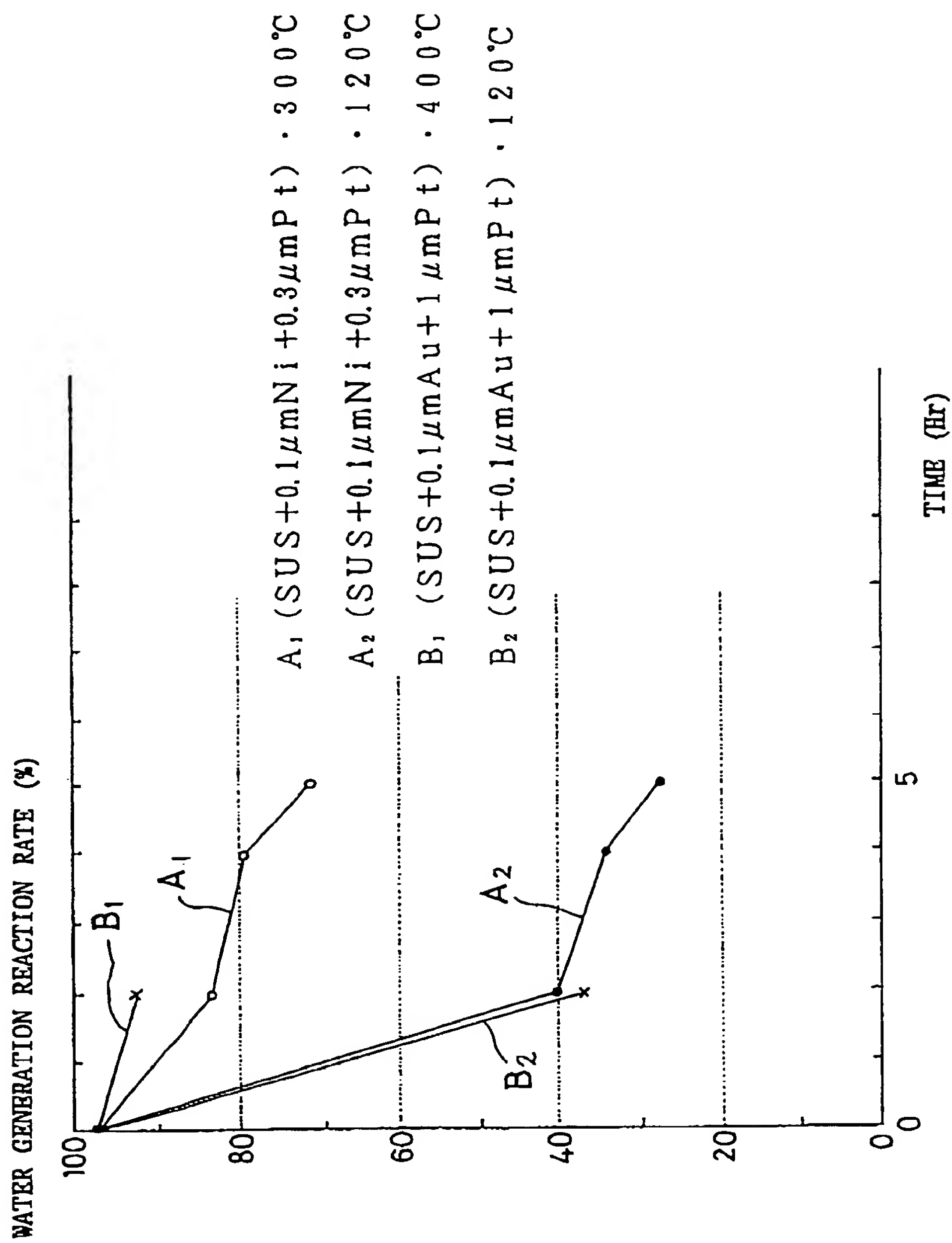


FIG. 47

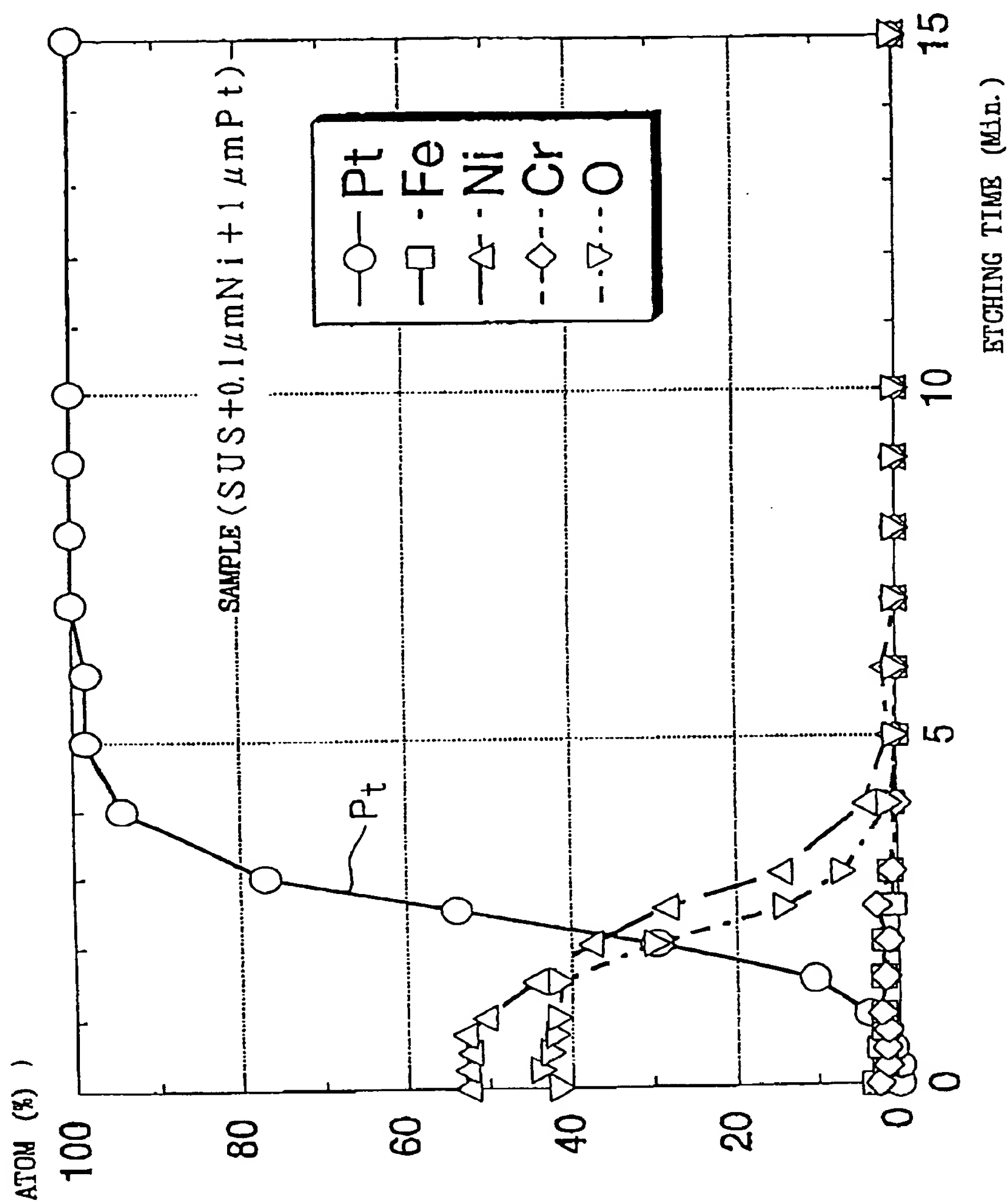


FIG. 48

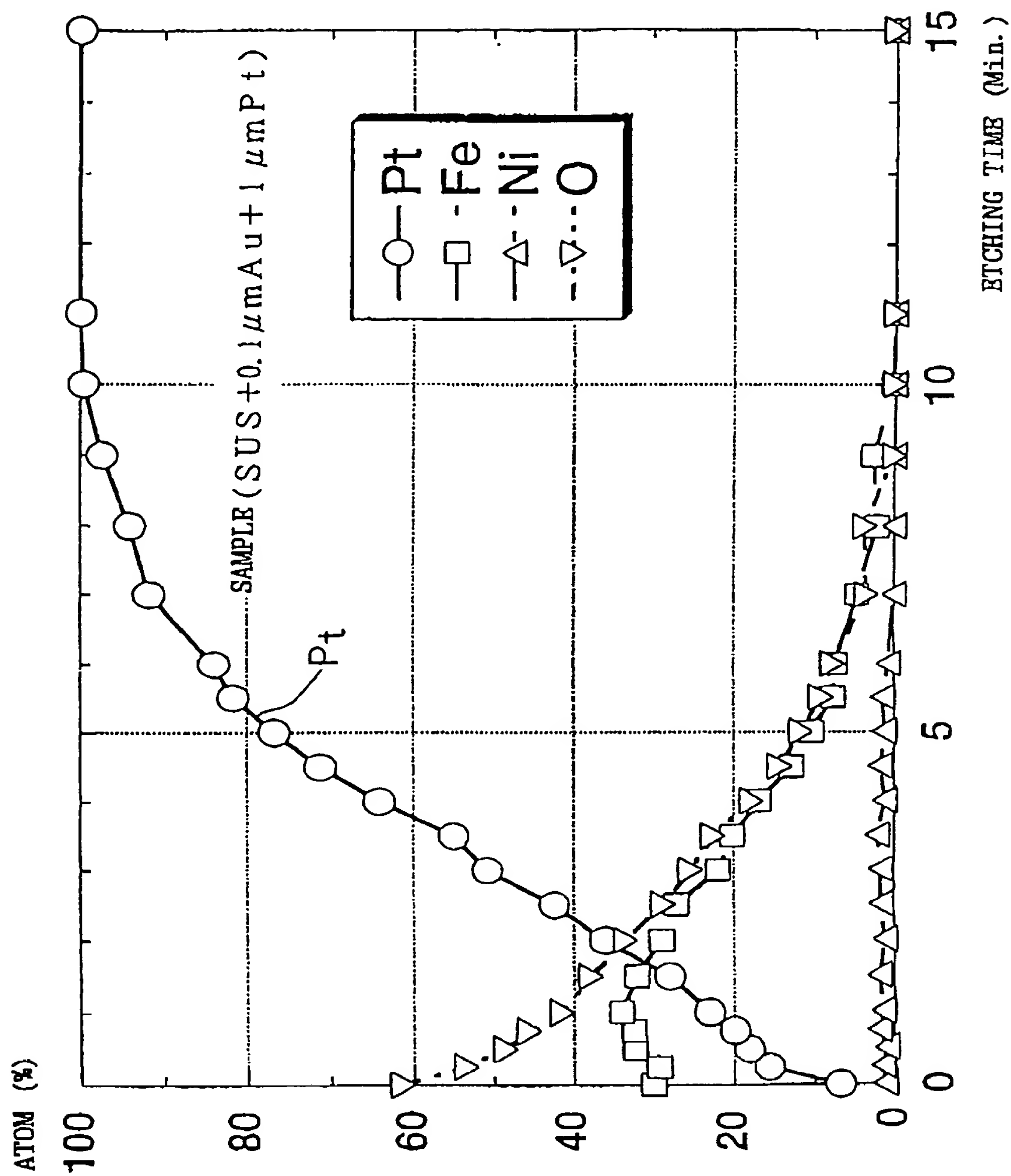


FIG. 49

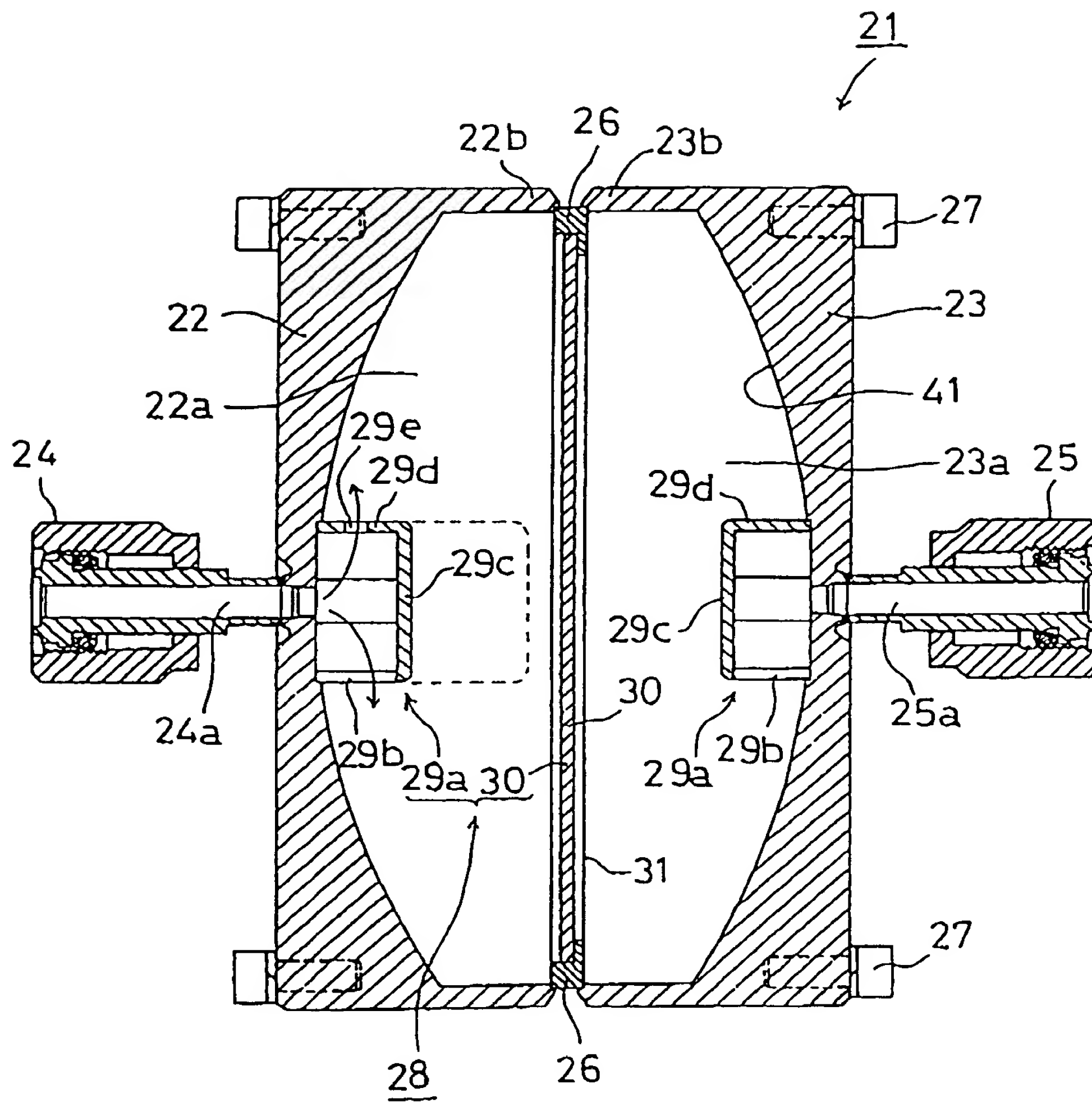


FIG. 50

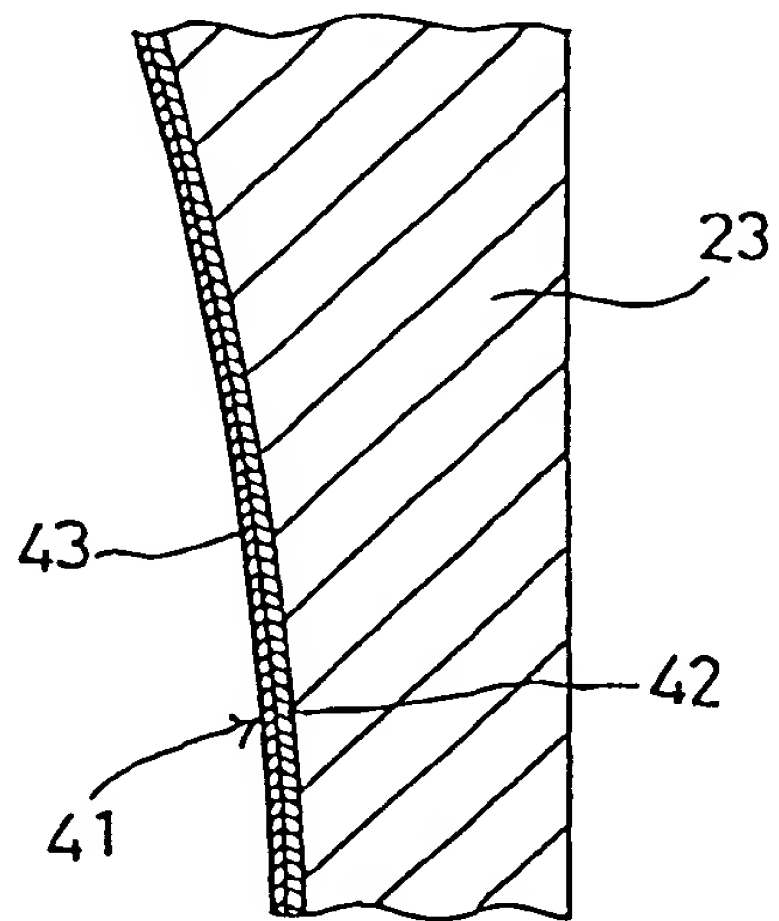


FIG. 51

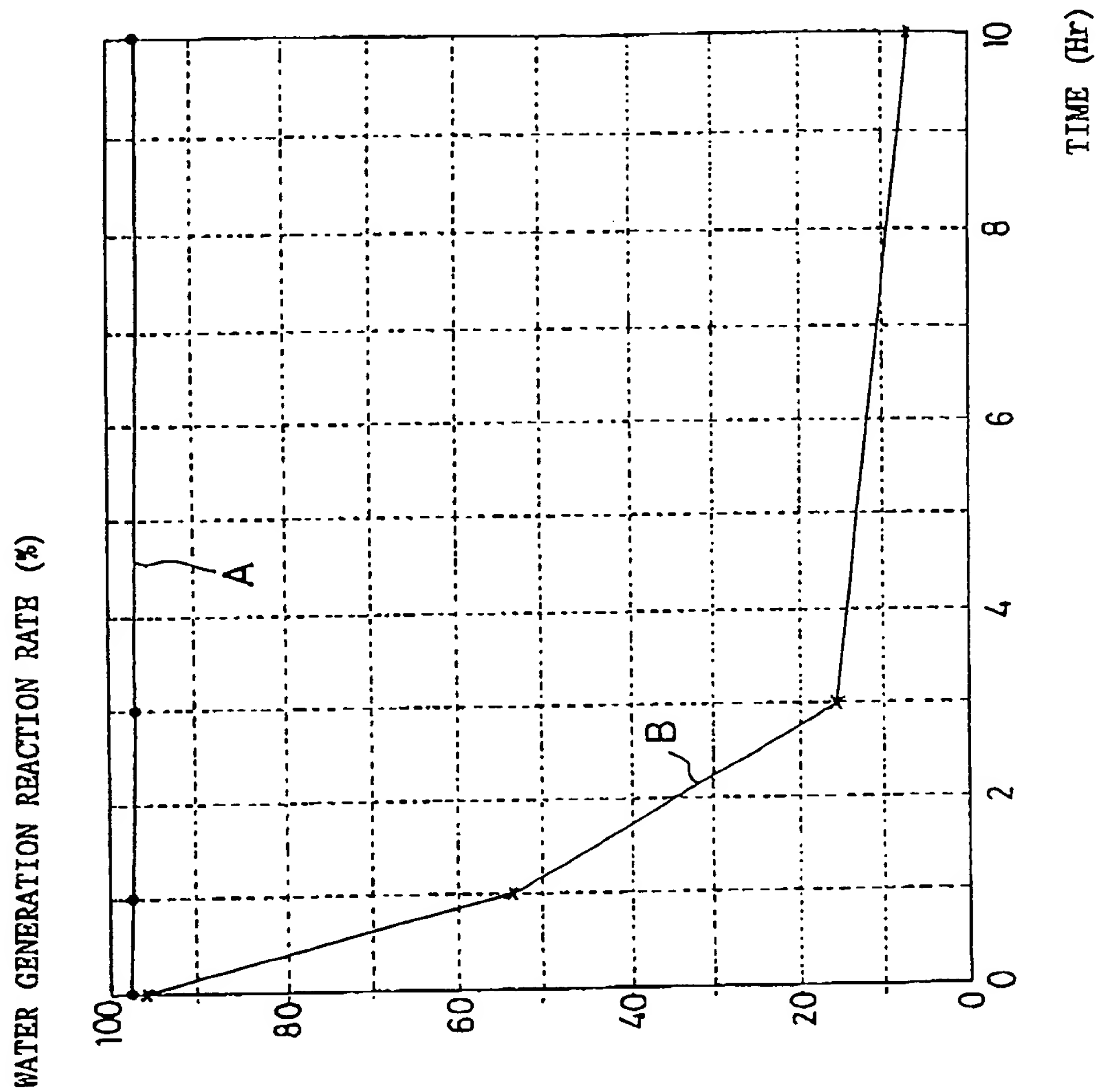


FIG. 52

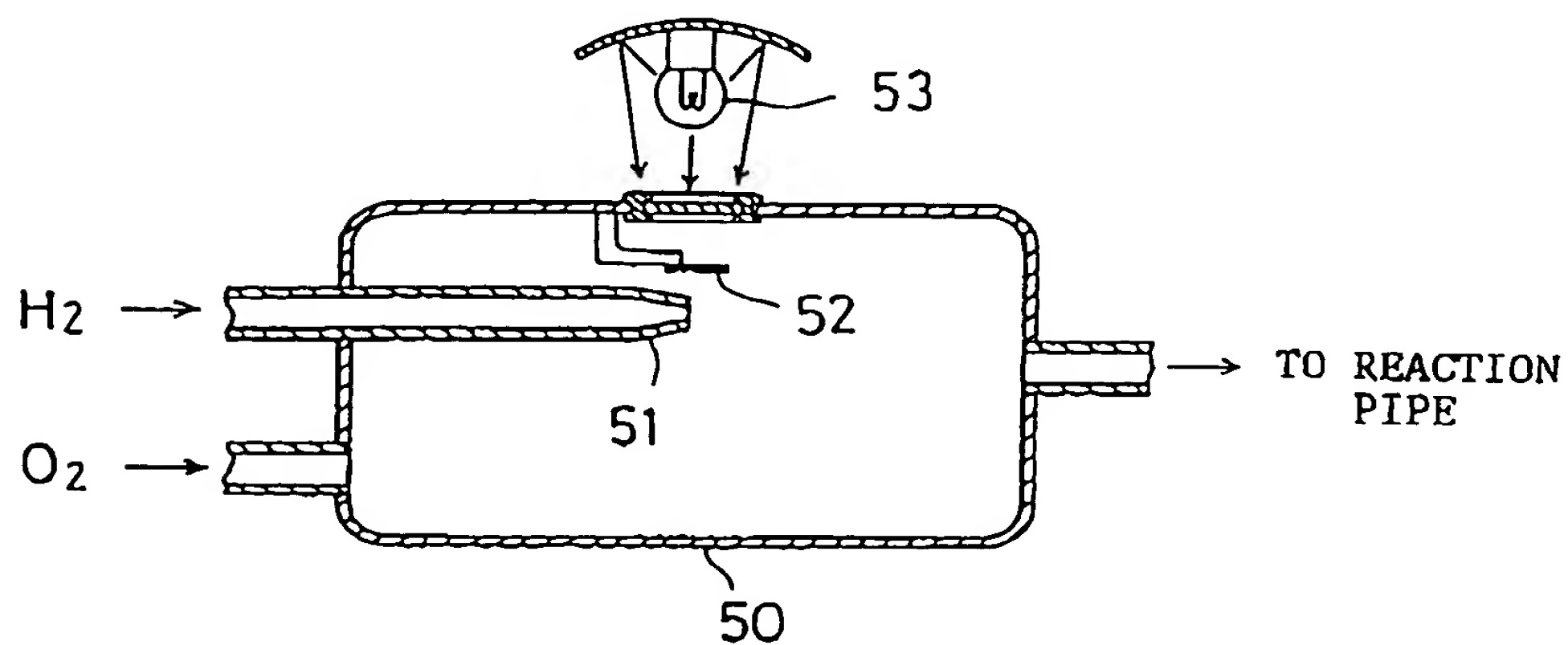


FIG. 53

